

Nukleon-Nukleon-Wechselwirkung, SS 2008

9. Vorlesung, 10.06.2008

Prof. Dr. E. Grosse

Nukleon-Nukleon-Wechselwirkung und van der Waals Kraft

Können die Eigenschaften schwerer Kerne berechnet werden?

Nukleonen und Kerne im elektromagnetischen Feld

Reziprozität: e.m. Zerfall und e.m. Anregung

Experimente mit Photonen - Riesenresonanzen

Astrophysik: Kerne in heißen Sternen



Forschungszentrum
Dresden

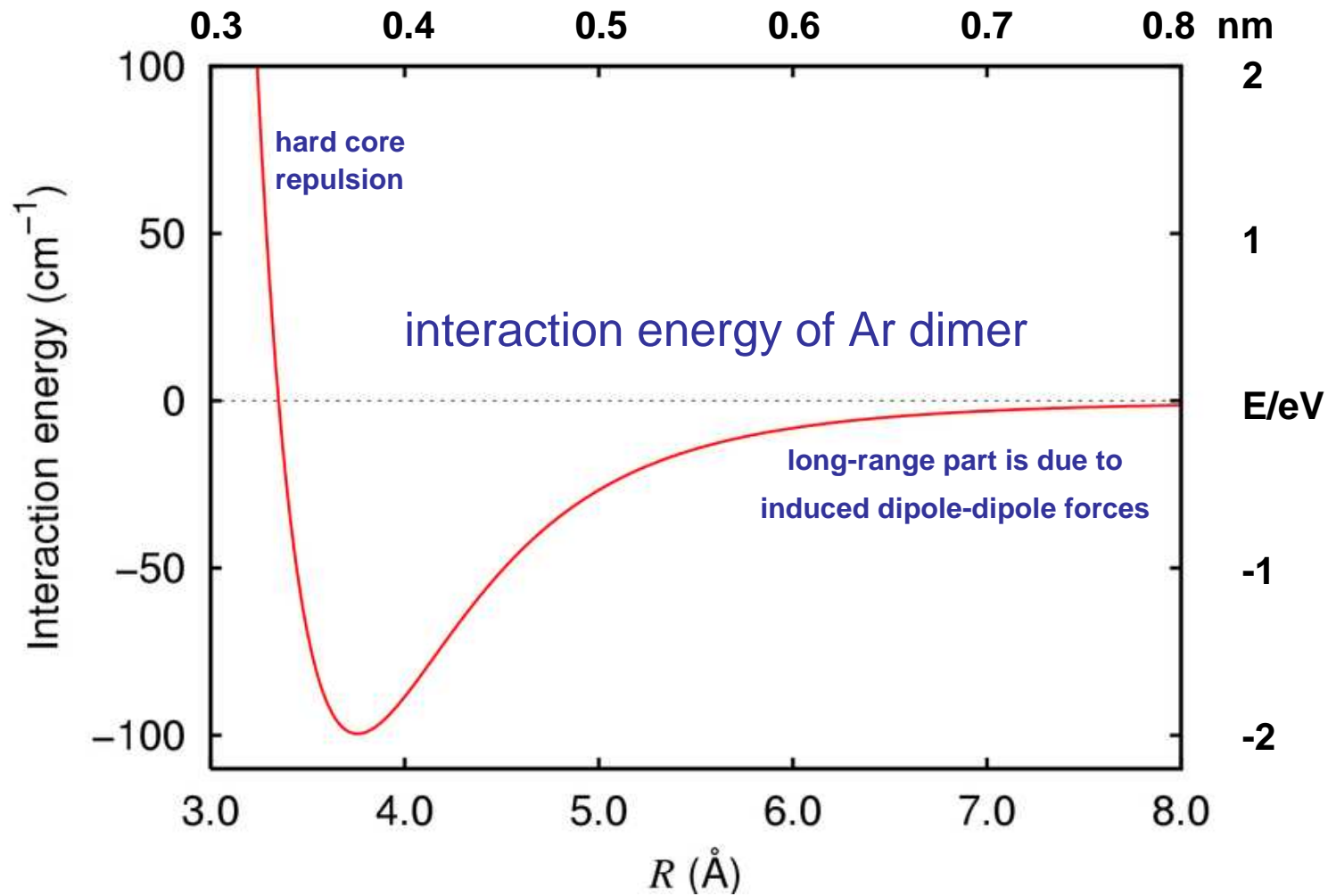
Rossendorf in der Leibniz-Gemeinschaft

Nukleon-Nukleon-Wechselwirkung, 9. Vorlesung am 10/06/2008



TECHNISCHE
UNIVERSITÄT
DRESDEN

van der Waals force



after Wikipedia®



Within the ... Kohn-Sham DFT (**density functional theory**) ,
the ... many-body problem of interacting *particles* in a
static external potential is reduced to *the simpler* problem of
non-interacting *particles* moving in an **effective** potential.

The effective potential includes the external potential and ...
the exchange and correlation interactions

An approximation is the **local-density approximation (LDA)**, ...
which can be obtained from the **Thomas-Fermi model**...

Walter Kohn (* March 9, 1923 in Vienna, Austria), *University of California at Santa Barbara*.
He was awarded, with John Pople, the Nobel Prize in chemistry in 1998, *for*
... their contributions to the understandings of the .. properties of materials.
... Kohn played the leading role in the development of the density functional theory,
which made it possible to incorporate quantum mechanical effects in the ... density
(rather than through its many-body wavefunction).
This computational simplification led to many insights and became an essential tool
for *materials research, plasma theory*, atomic, molecular and **nuclear structure** .

cf.: E. K. U. Gross and R. M. Dreizler, *Density Functional Theory*, Plenum 1993

after Wikipedia®

Traditional methods in .. **many particle theory**, in particular **Hartree-Fock theory** and its descendants, are based on the complicated many-body wavefunction.

The main objective of **density functional theory** is to replace the many-body .. wavefunction with the .. density as the basic quantity.

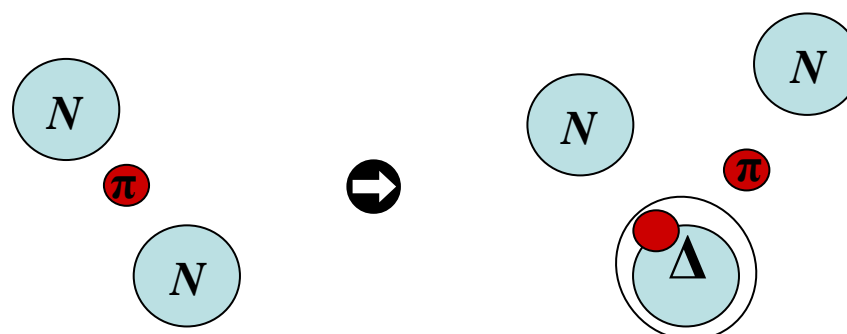
Whereas the many-body wavefunction is dependent on **3N variables**,
three spatial variables for each of the N particles,
the density is only a function of **3 coordinates** and is **much simpler** ...

Wikipedia®

One thus has to use a particle-particle potential which is density dependent and thus cannot be directly measured in particle-particle collisions.

But it can be constructed on the basis of particle-particle data by introducing a 'natural' density dependence, i.e. many body effects.

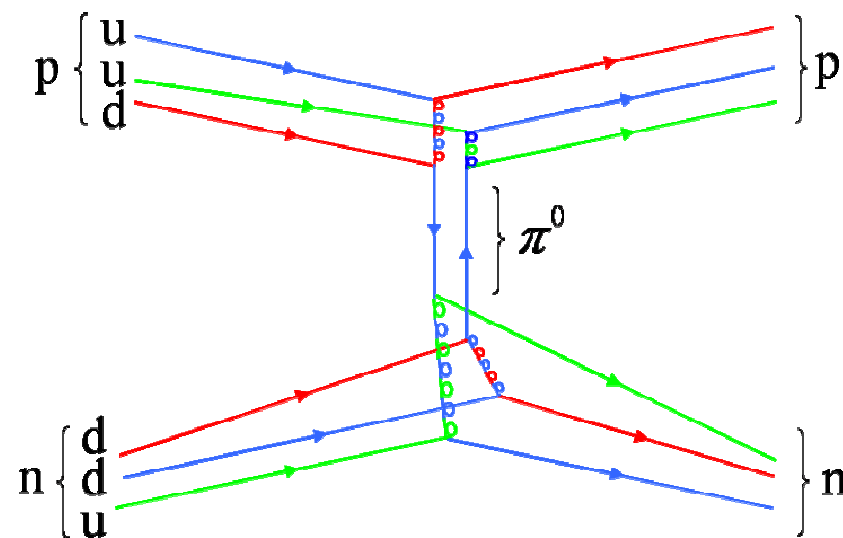
*The pion exchange potential (Yukawa) of nuclear physics has a straightforward **many body property**:*



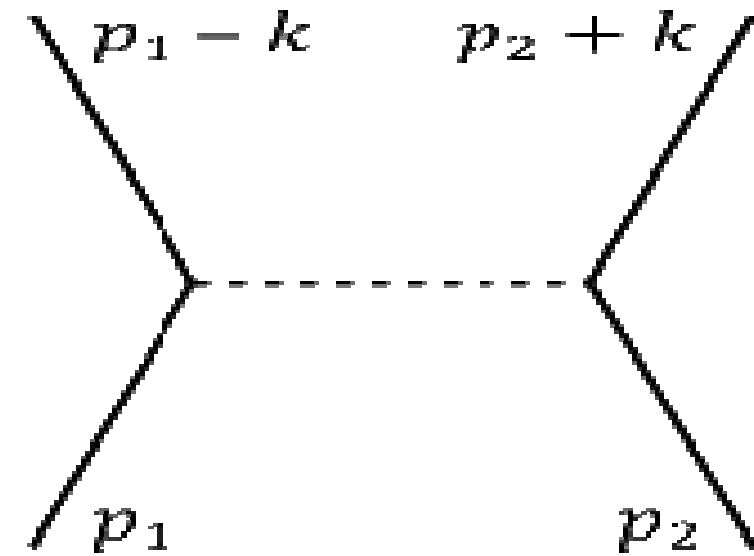
$$\begin{aligned}\Delta &: \Delta(1232 \text{ MeV}) \\ \Gamma_\Delta &\sim 120 \text{ MeV} \\ \tau_\Delta &\sim 5.5 \cdot 10^{-24} \text{ s} \\ &\triangleq 1.6 \text{ fm}/c\end{aligned}$$

meson exchange

in quark picture



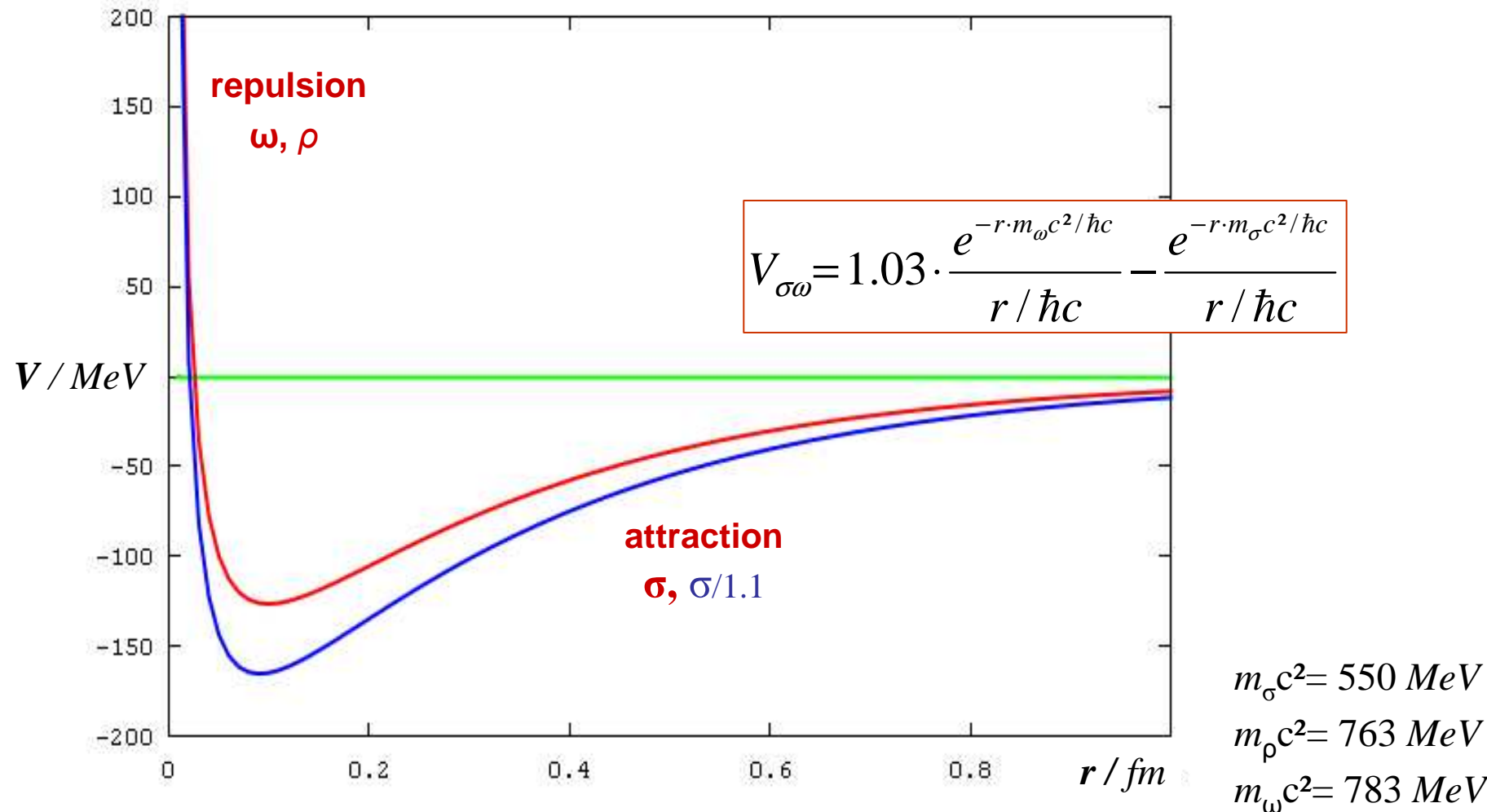
as Feynman diagram



$$V(r) = -g^2 \frac{e^{-mr\frac{c}{\hbar}}}{r} \quad \xleftarrow{\text{Fourier transform}} \quad V(\mathbf{k}) = -g^2 \frac{4\pi}{k^2 + m^2}$$

after Wikipedia®

Schematic meson-exchange-potential



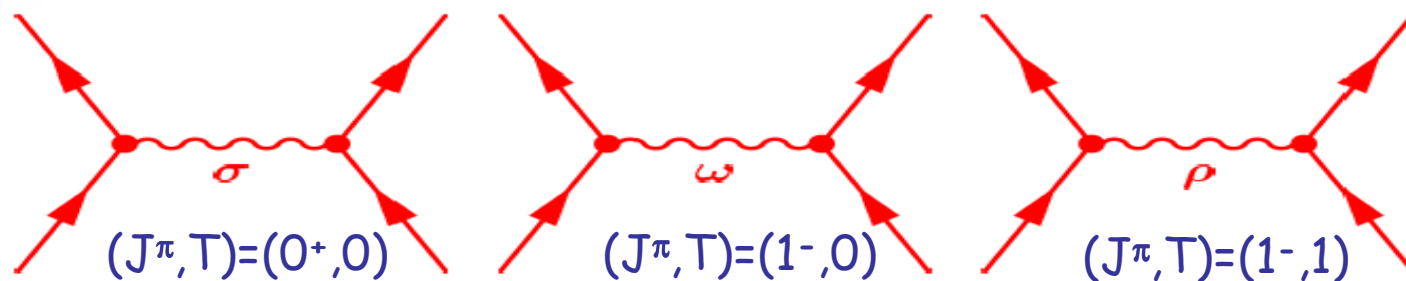
Walecka model



$E[\rho]$



Nucleons are coupled by exchange of mesons
through an **effective Lagrangian** (EFT)



$$S(\mathbf{r}) = g_\sigma \sigma(\mathbf{r})$$



Sigma-meson:
attractive scalar field

$$V(\mathbf{r}) = g_\omega \cdot \omega(\mathbf{r}) + g_\rho \cdot \vec{\tau} \vec{\rho}(\mathbf{r}) + e \cdot A(\mathbf{r})$$



Omega-meson:
short-range repulsive

Rho-meson:
isovector field



**Coulomb
field**

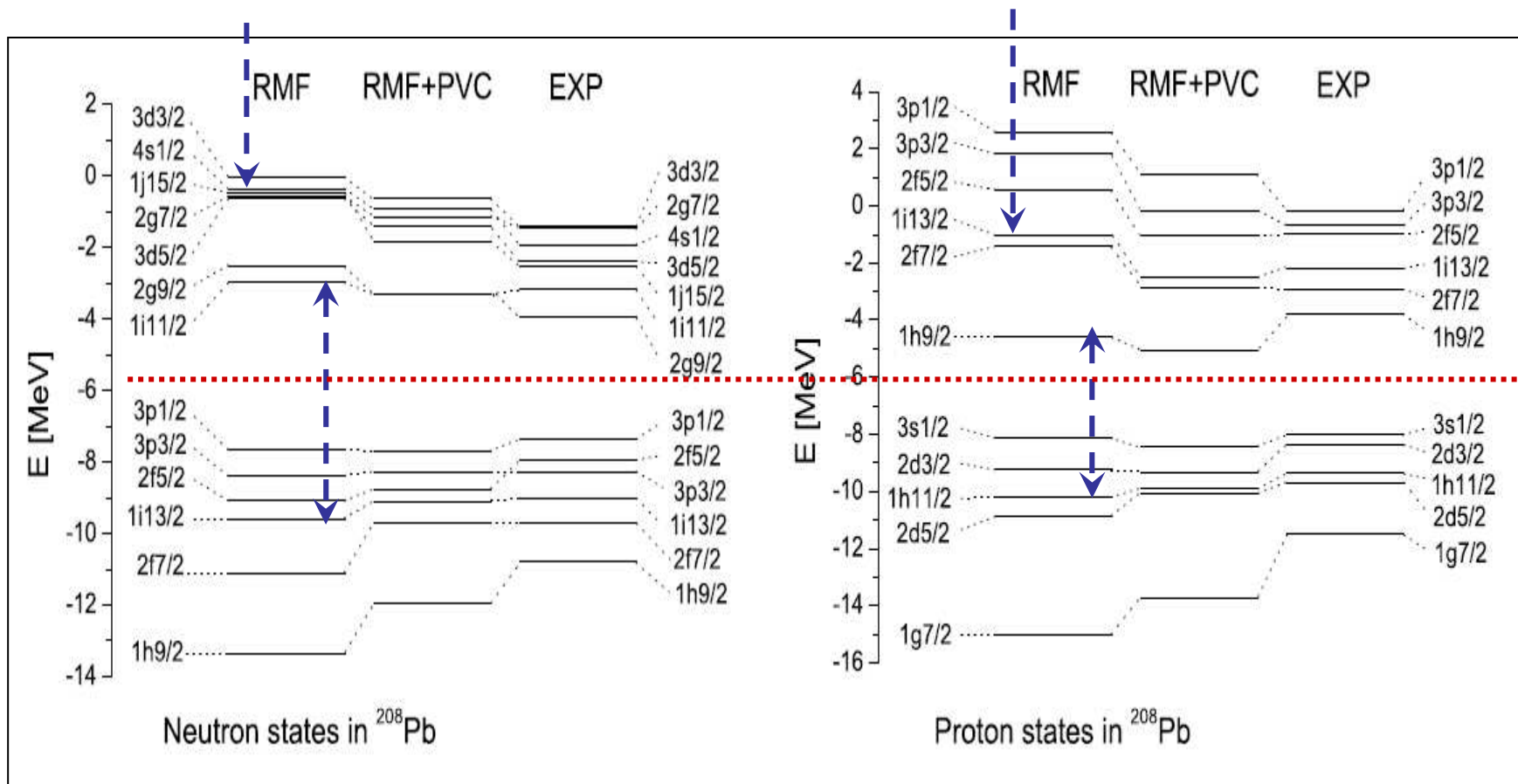
cf.: G. A. Lalazissis, P. Ring, and D. Vretenar, *Extended Density Functionals in Nuclear Structure Physics*, Lecture Notes in Physics 641 (Springer-Verlag, Berlin/Heidelberg, 2004).



Forschungszentrum
Dresden Rossendorf in der Leibniz-Gemeinschaft

Nukleon-Nukleon-Wechselwirkung, 9. Vorlesung am 10/06/2008

Single particle spectrum in $^{208}\text{Pb} \pm 1$ nucleon

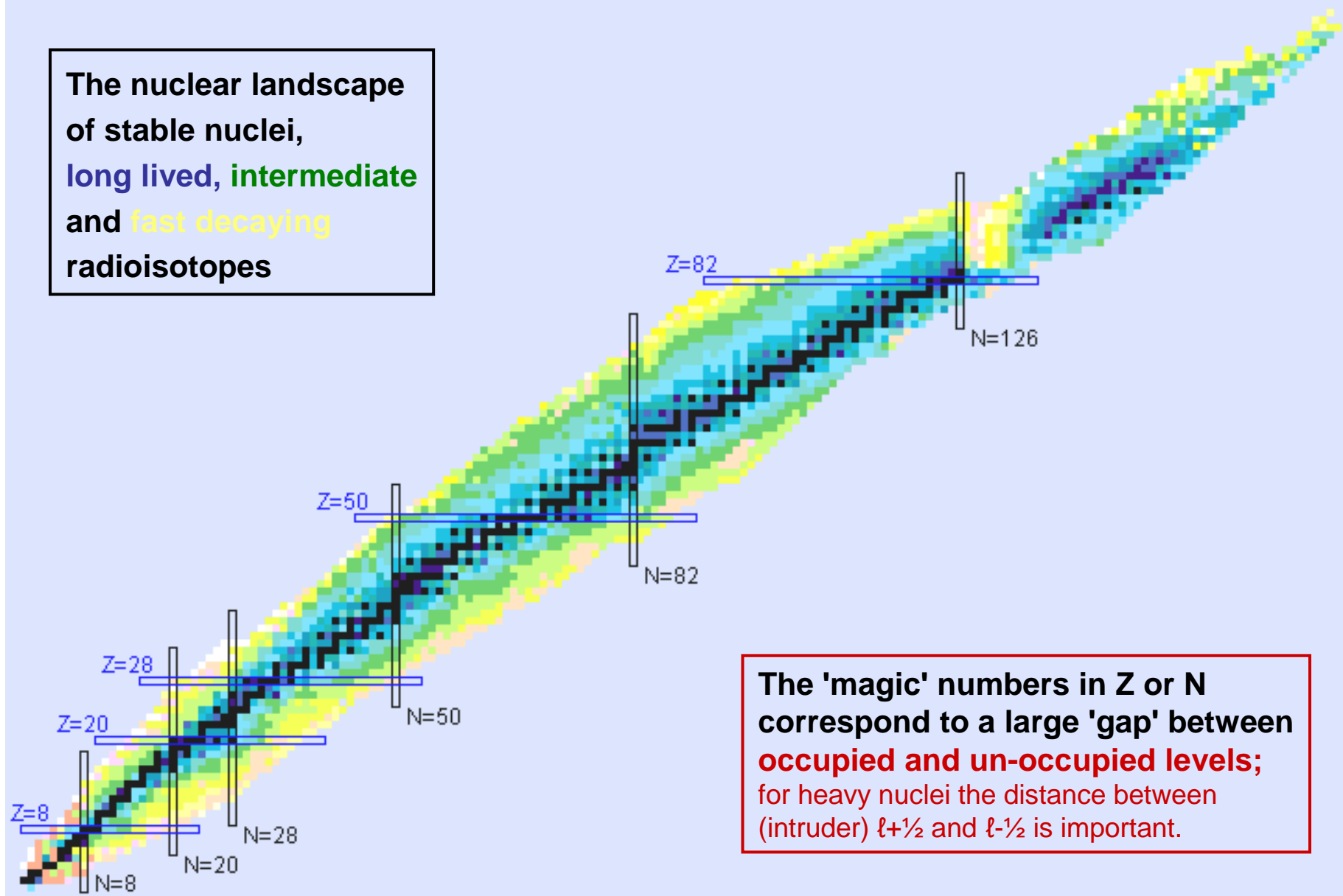


E. Litvinova and P. Ring, PRC 73, 44328 (2006)

In this covariant theory the spin orbit splitting is obtained without a special ℓ_s -term; thus the magic numbers come out as observed in the data.



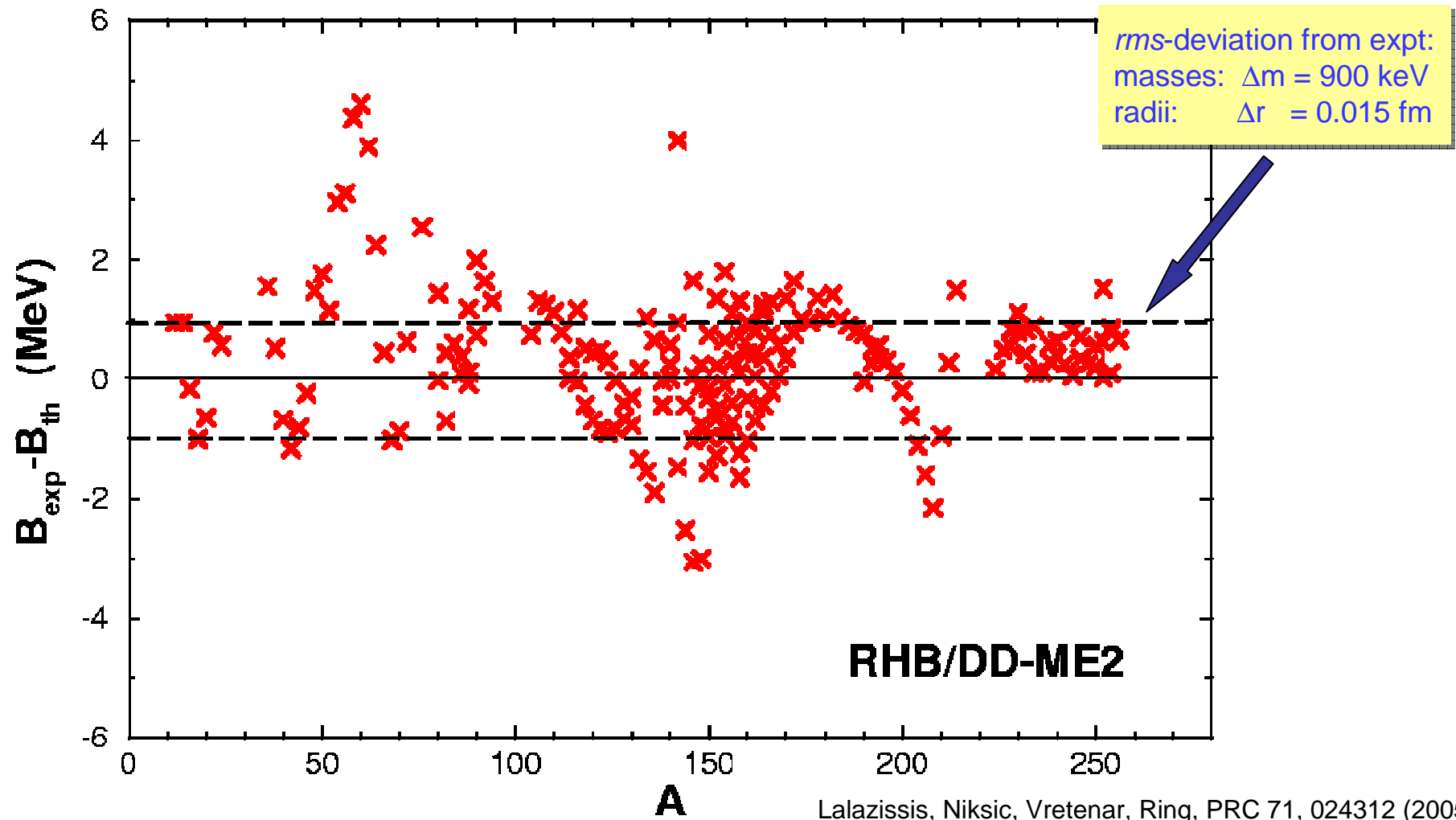
**The nuclear landscape
of stable nuclei,
long lived, intermediate
and fast decaying
radioisotopes**

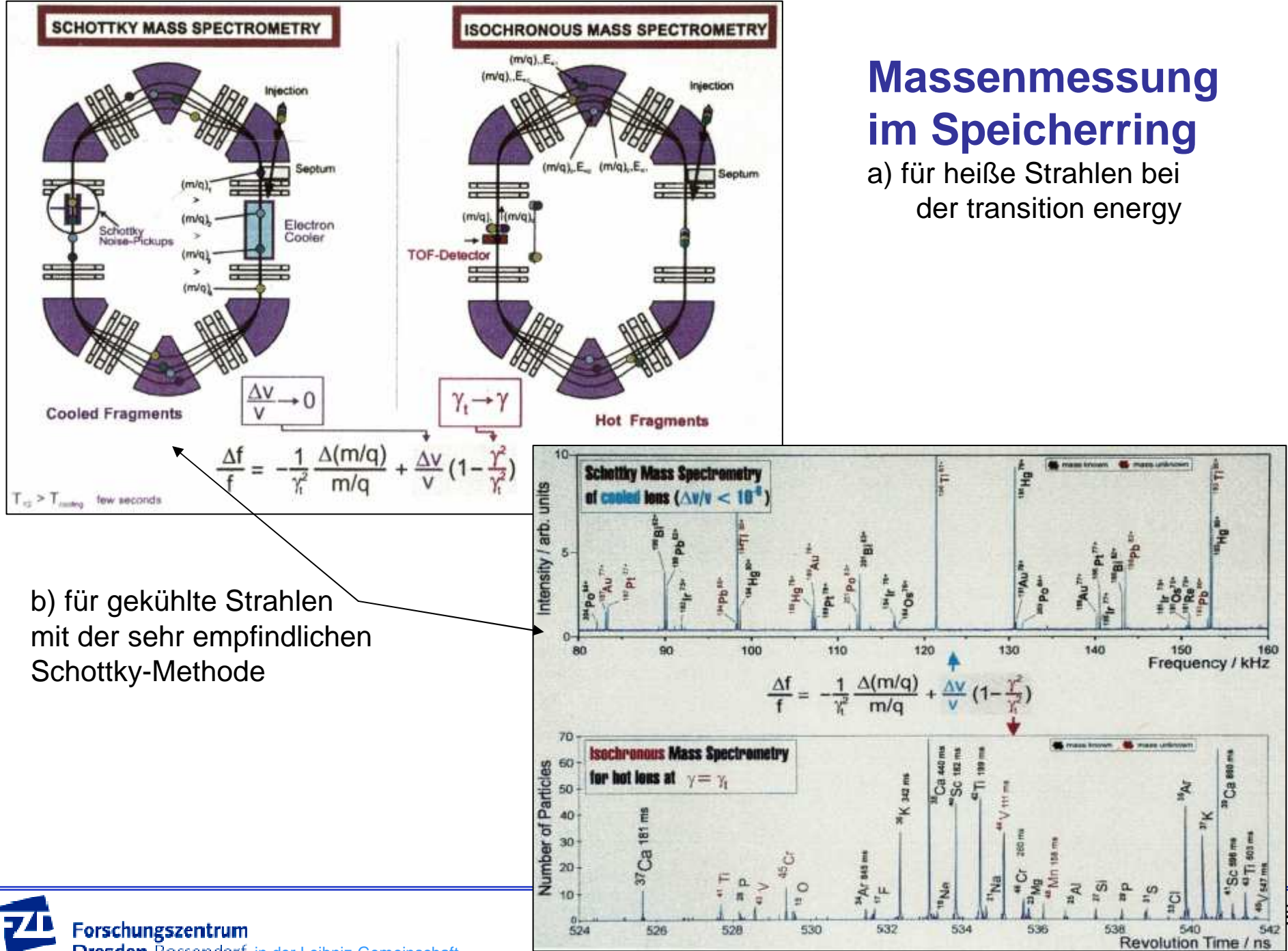


The 'magic' numbers in Z or N correspond to a large 'gap' between occupied and un-occupied levels; for heavy nuclei the distance between (intruder) $\ell+\frac{1}{2}$ and $\ell-\frac{1}{2}$ is important.

The effective nucleon-nucleon interaction is fixed by fitting to masses of many nuclei.

The meson-nucleon couplings g_σ , g_ω , g_ρ are assumed to be functions of the baryon density $\psi^\dagger \psi$
such that 8 independent parameters are adjusted (7 coupling parameters and the mass of the σ)





Neuartige Massenbestimmung in einer Hochfrequenzfalle

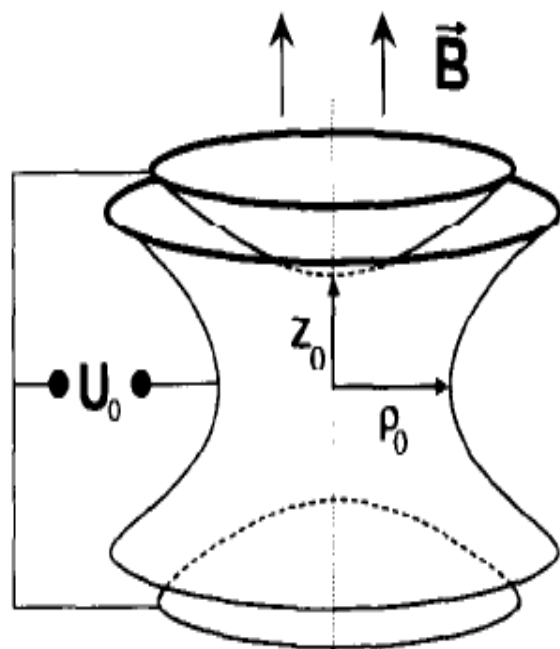


Fig. 1. Layout of a Penning trap. r_0 denotes the inner radius of the ring electrode and z_0 the half distance between the endcap electrodes.

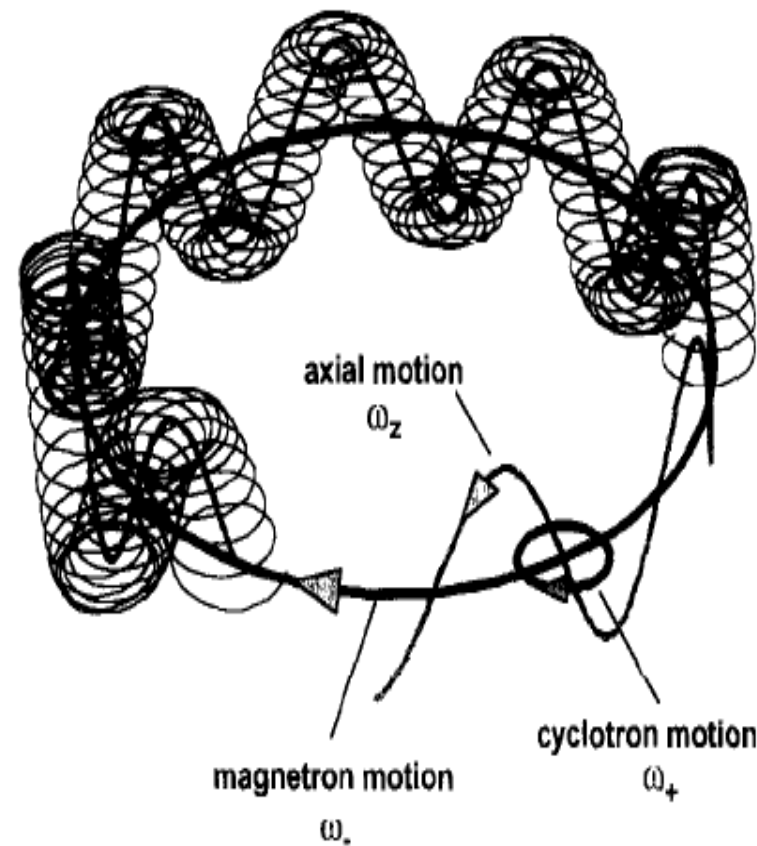


Fig. 2. Schematic of the three eigenmotions of an ion in a Penning trap.

Eichung mit Fulleren - nano-Partikeln

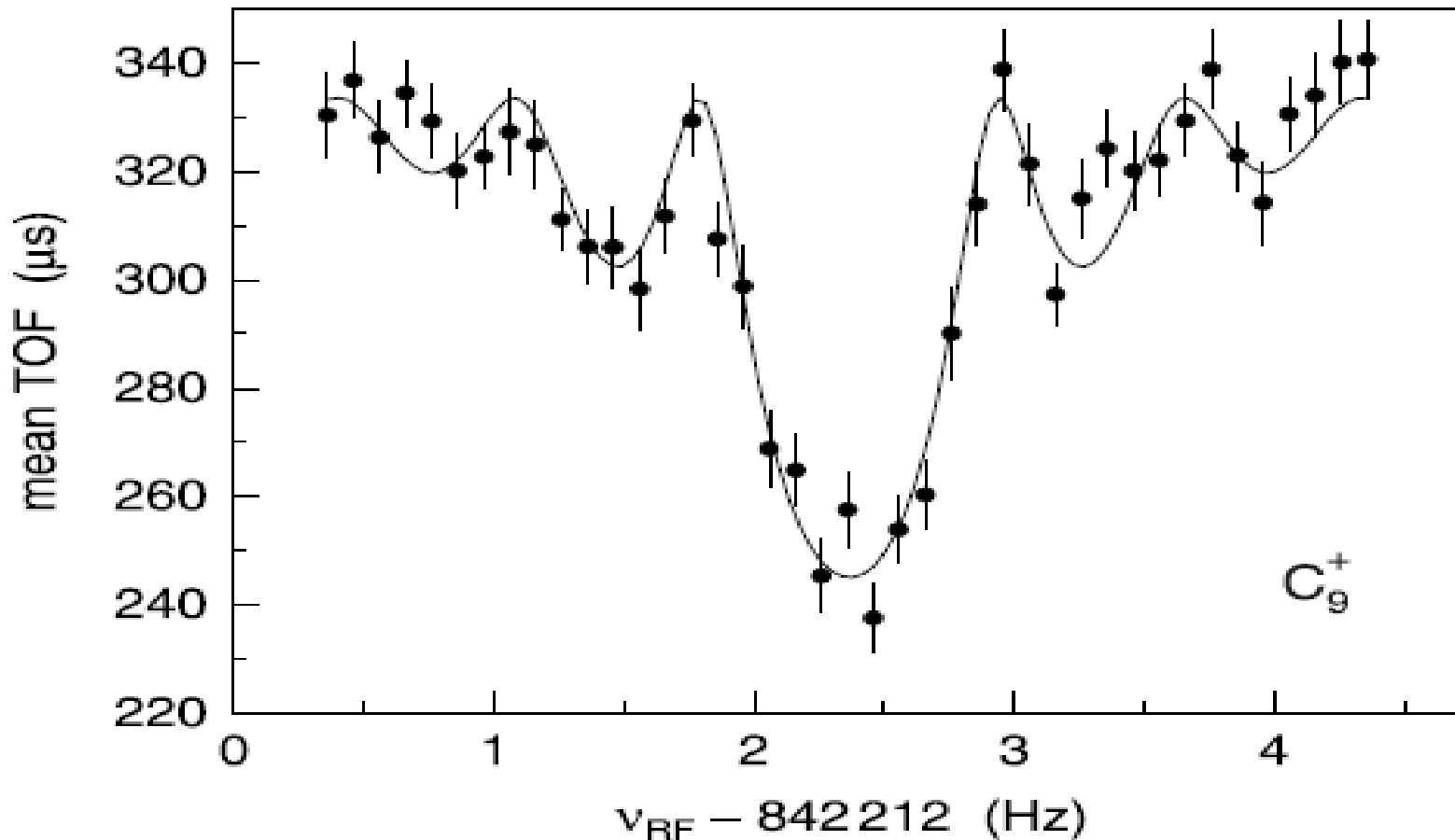


Fig. 3. Time-of-flight resonance curve of C_9^+ . The solid line is a fit of the expected line shape to the data points [24]. The reduced χ^2 of the least-squares fit of the complete resonance is close to one.

Eichung mit Fulleren - nano-Partikeln

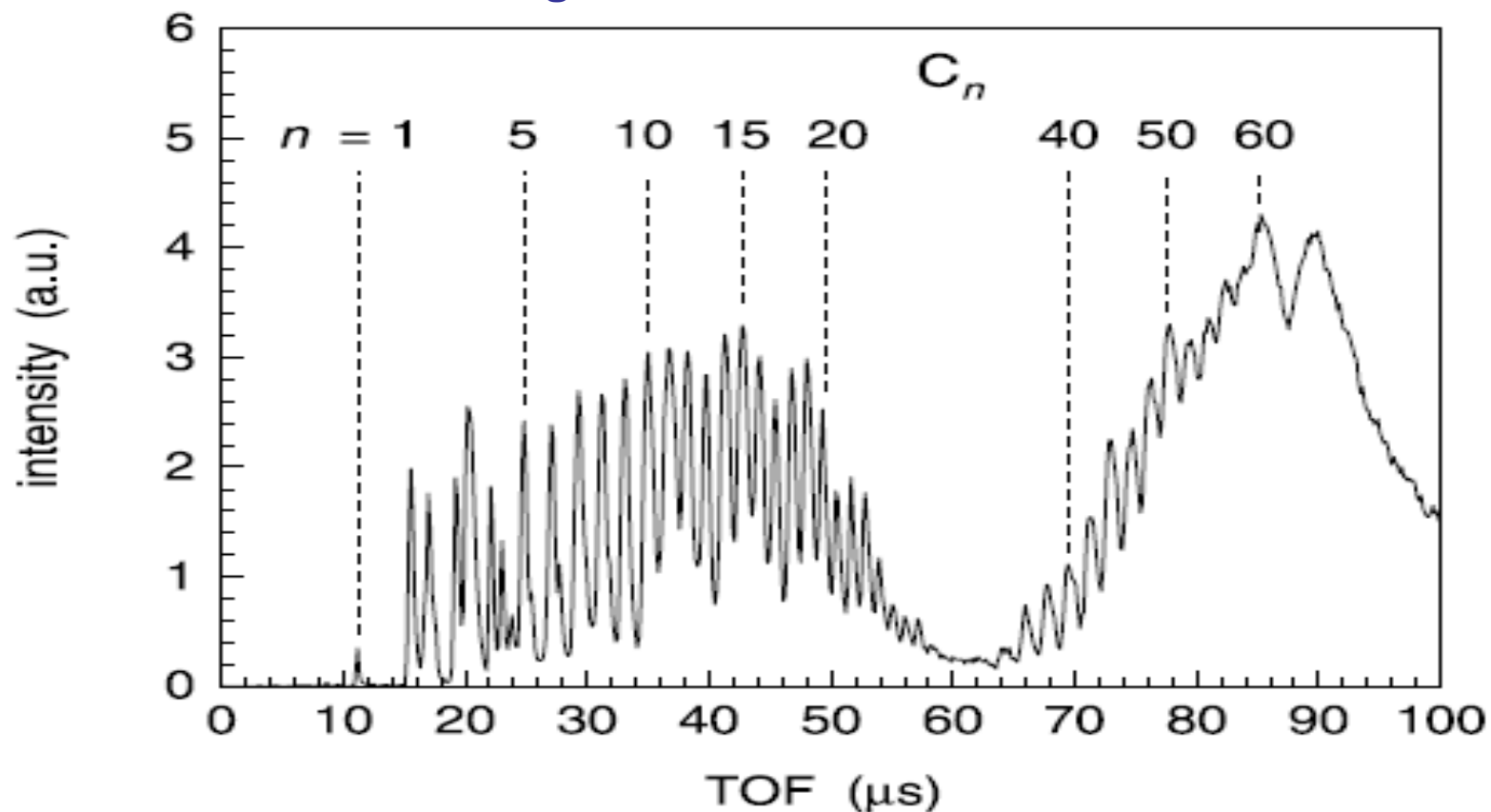


Fig. 2. Time-of-flight mass spectrum of carbon cluster ions produced by use of laser-induced desorption, fragmentation, and ionization of C_{60} at 532 nm at a laser pulse energy of about 10 mJ, recorded at MCP 1 [17]. The peak around $n = 70$ is probably due to coalescence products of C_{60} and smaller fragments.



HIGH-PRECISION MASS MEASUREMENTS OF EXOTIC NUCLEI WITH THE TRIPLE-TRAP MASS SPECTROMETER ISOLTRAP

K. Blaum et al., 2002
CERN-INTC/2002-021

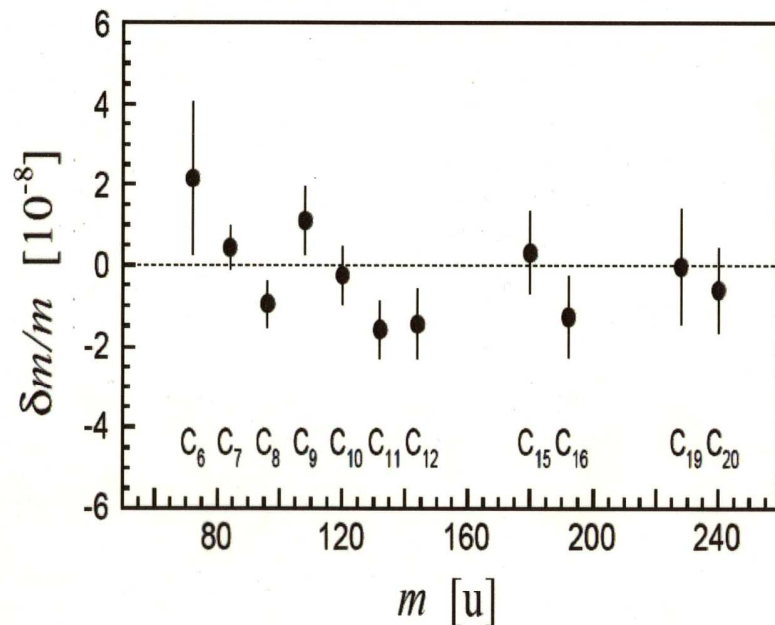


Figure 2: Weighted means of the cyclotron frequency ratios for all carbon cluster cross-reference measurements after taking all known systematic effects into account.

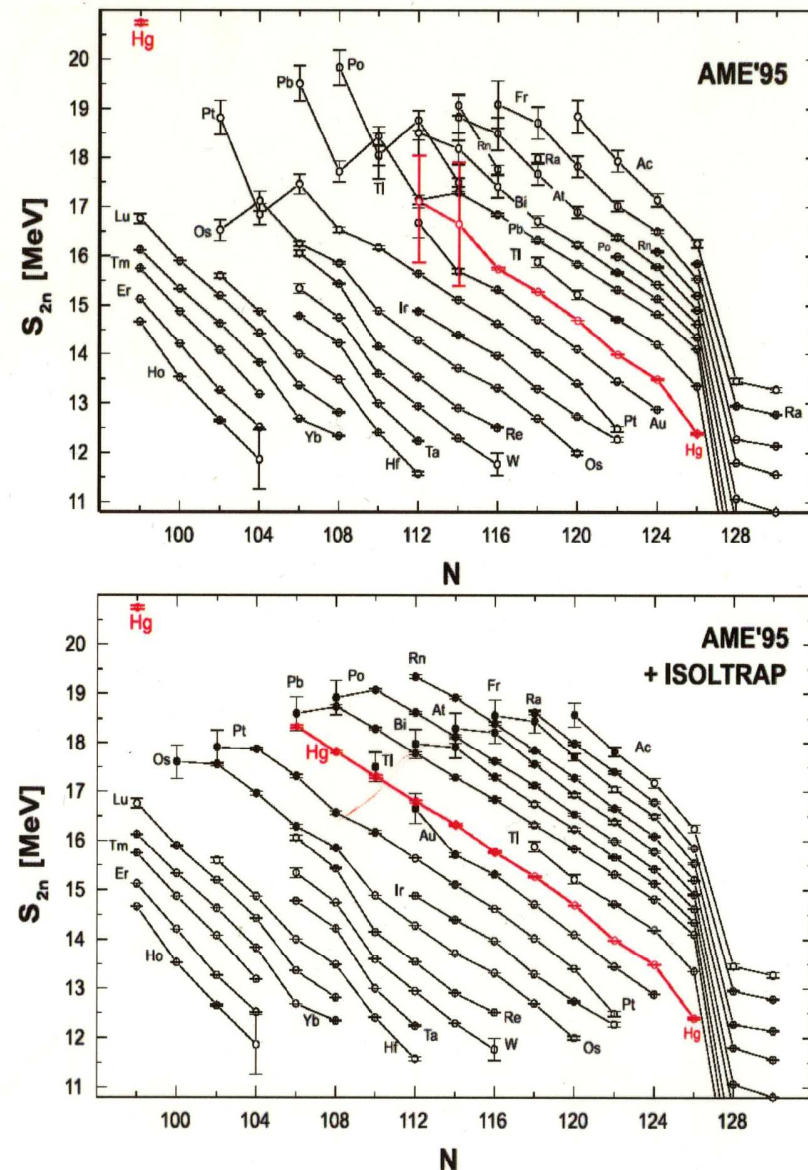
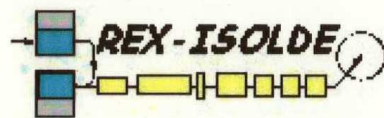
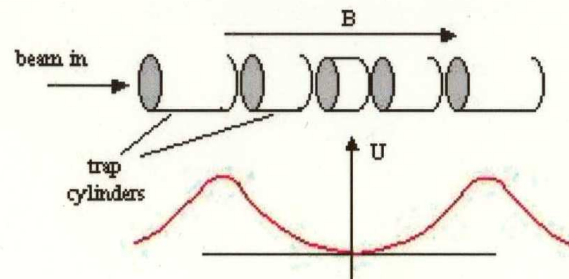


Figure 3: Two-neutron separation energies in the vicinity of $Z = 82$ as a function of neutron number. Shown are S_{2n} values excluding (top) and including (bottom) ISOLTRAP data in the atomic mass evaluation.

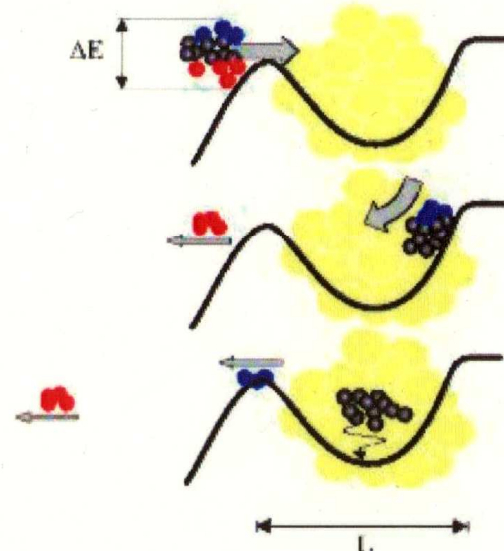


REXTRAP principle



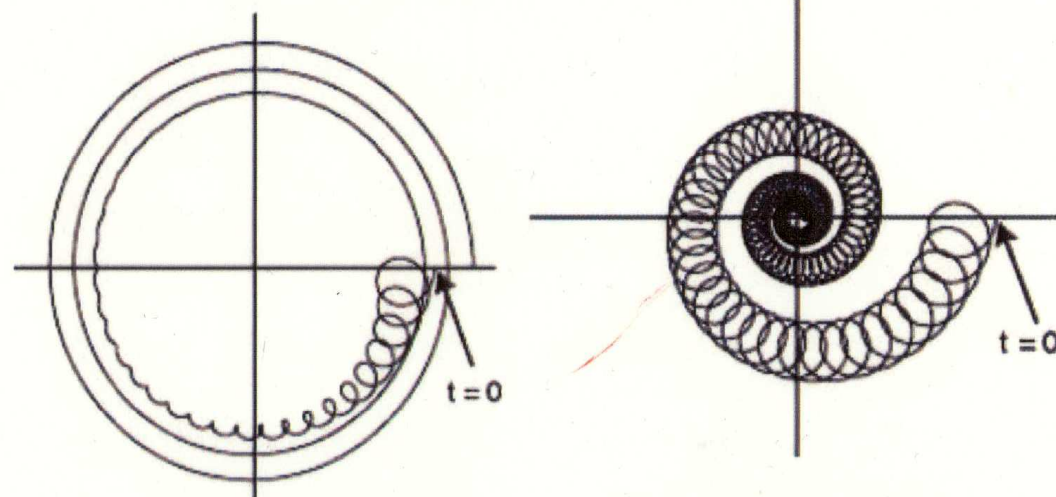
magnetic field	3 T
cycle time	10 ms
buffer gas pressure	10^{-3} mbar

sideband cooling method



- captured ions
- ● lost ions

buffer gas



Buffer gas

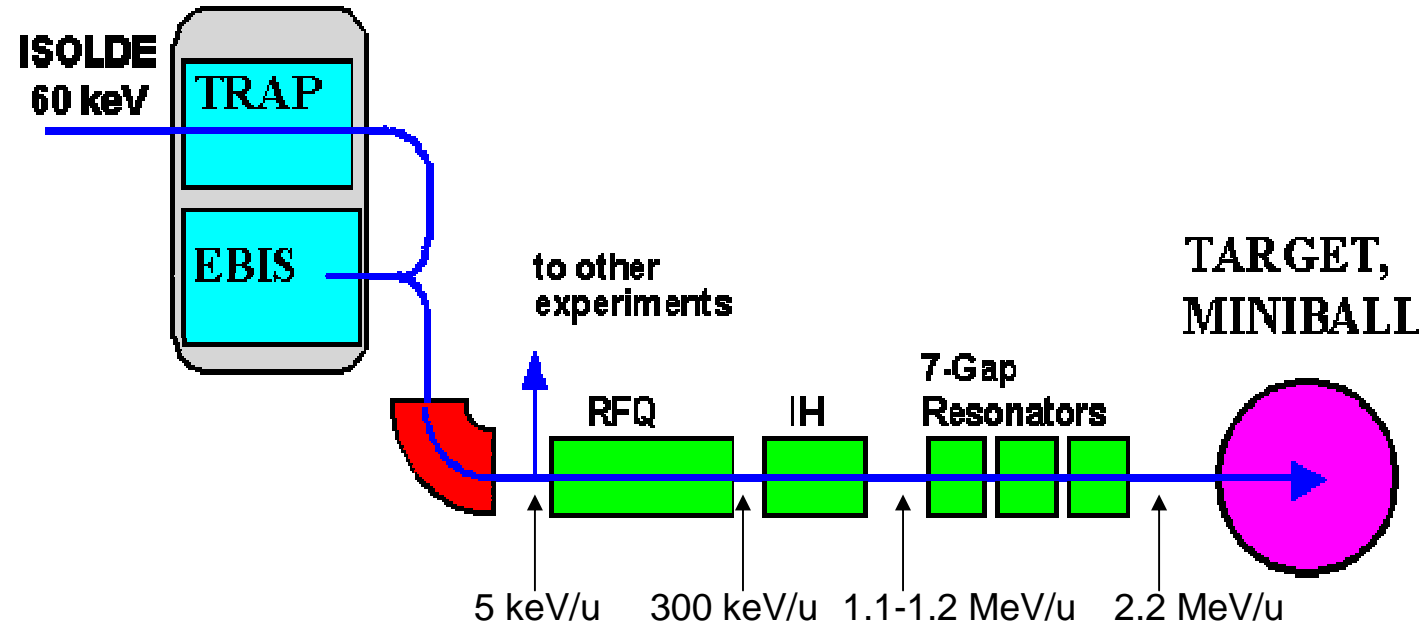
Buffer gas+ rf-field



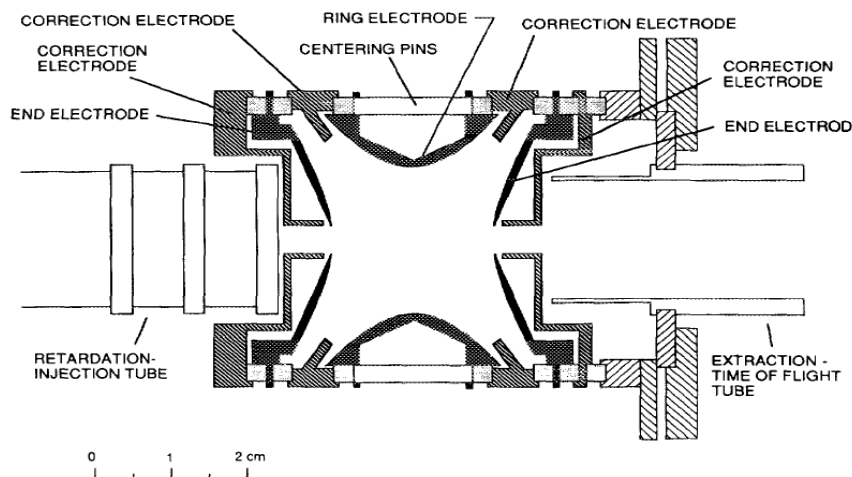
Forschungszentrum
Dresden Rossendorf in der Leibniz-Gemeinschaft

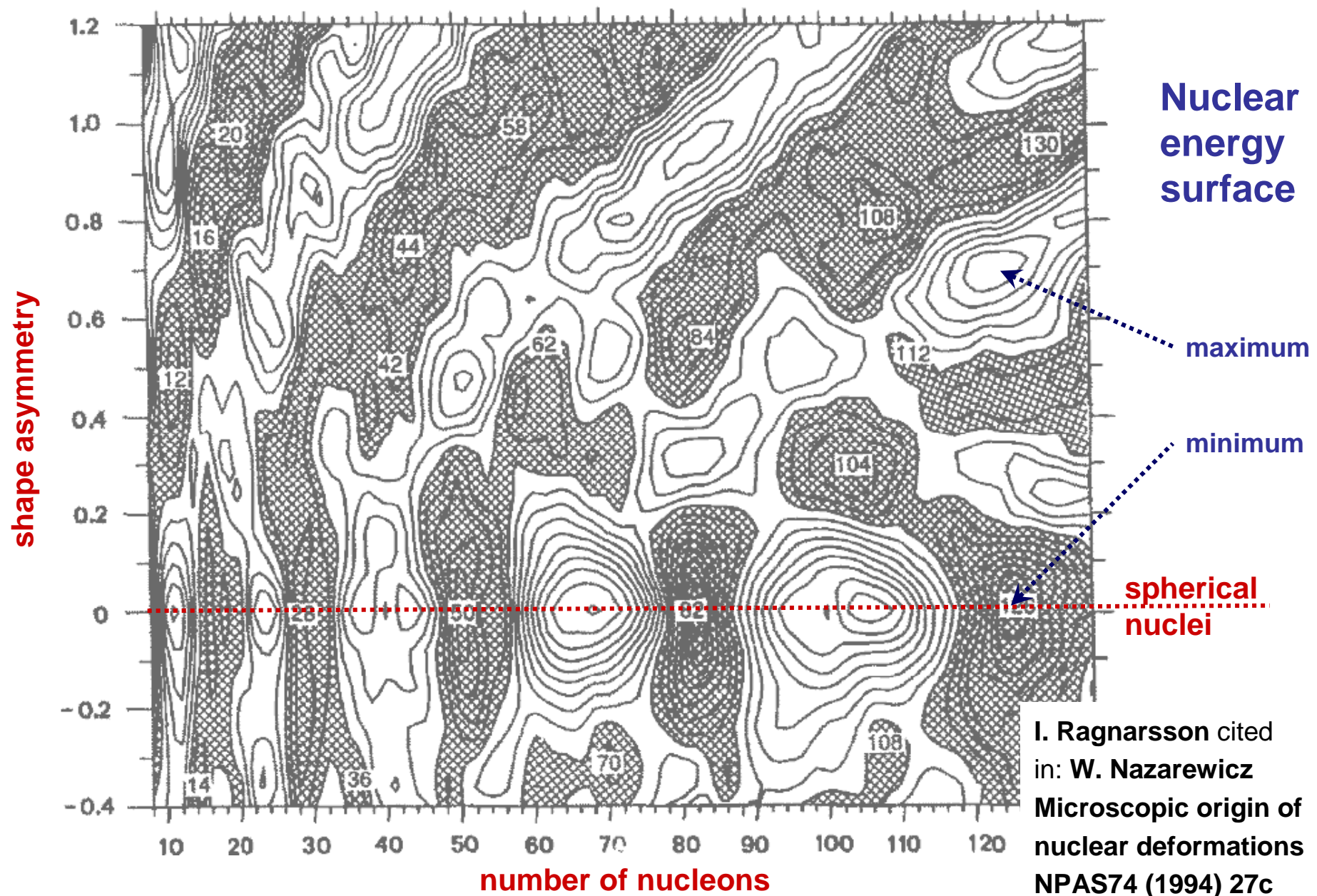
Nukleon-Nukleon-Wechselwirkung, 9. Vorlesung am 10/06/2008

TECHNISCHE
UNIVERSITÄT
DRESDEN



Aufbau am ISOLDE-Strahl radioaktiver Kerne, die im CERN-PS erzeugt werden





Das DFT- Verfahren wurde bisher erfolgreich durchgeführt nur für Kerne nahe abgeschlossener Schalen.

Außerhalb ist die sphärische Symmetrie verletzt und die Rechnungen konnten bisher nicht voll durchgeführt werden.

Zur Berücksichtigung der Deformation werden als Alternative makroskopische Modelle (liquid drop, droplet) verwendet.

Die Kernmaterie wird wie eine Flüssigkeit behandelt mit Volumenenergie (Kohäsion), Oberflächenspannung etc.

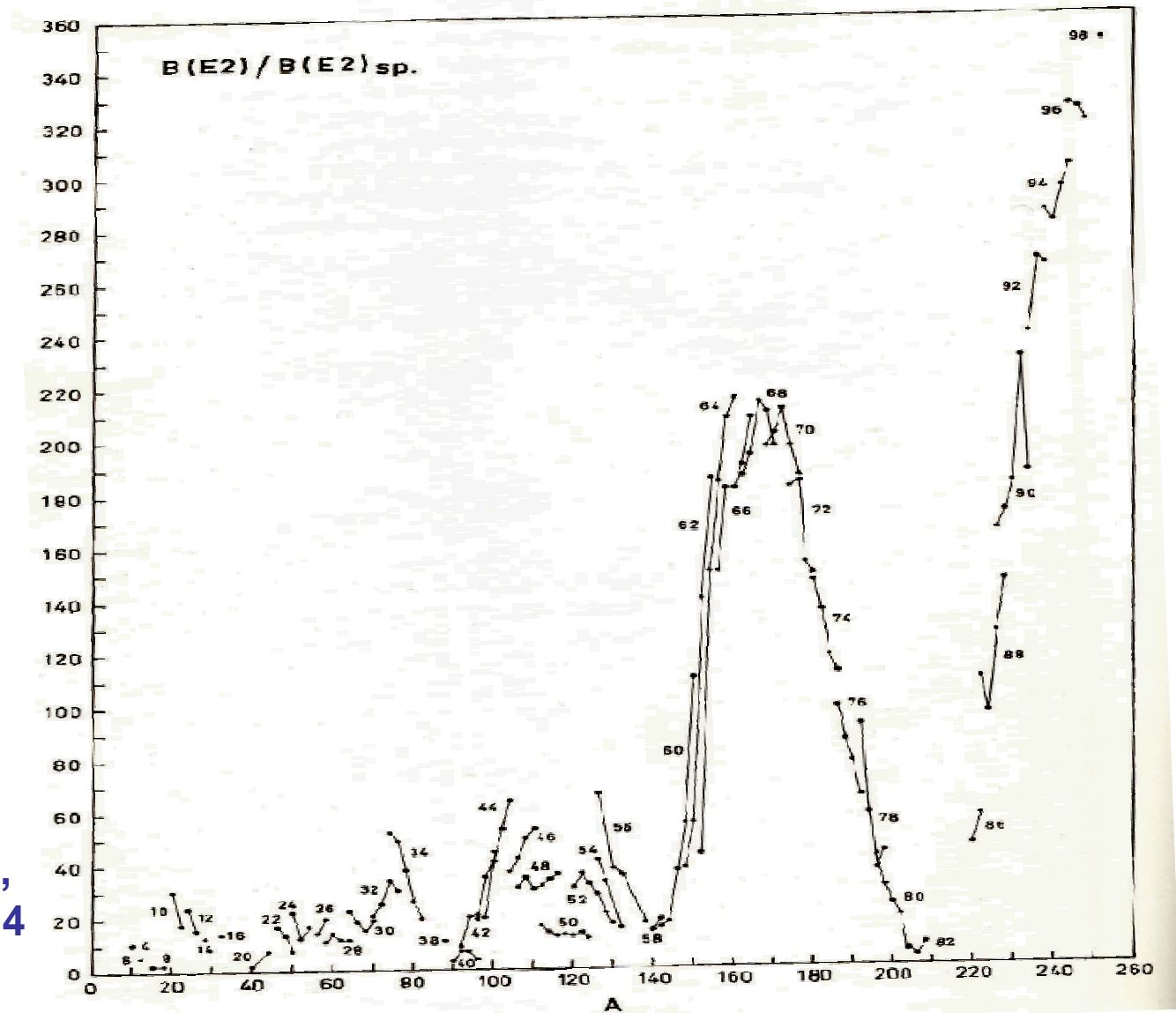
(vgl. Bethe-Weizsäcker Formel)

Üblich sind hybride Modelle, bei denen makroskopische und mikroskopische Freiheitsgrade gemeinsam minimiert werden.

(Schaleneffekte: Strutinski-Verfahren)



A. Bohr & B. Mottelson,
Structure of Nuclei, ch 4
Rotational spectra



Experimentell wurde die Kerndeformation erschlossen aus:

1. Quadrupolmomenten ← Hyperfeinstruktur at. Linien

2. Energiedifferenzen in 'Rotations-banden'

beobachtet im α -Zerfall, Compoundkern-Zerfall



Quadrupol-Deformation

3. Coulombanregung solcher Banden

4. Lebensdauern von Niveaus in solchen Banden

3, 4 → Elektromagnetische Übergangswahrscheinlichkeiten

5. Form der Dipol-Riesenresonanz

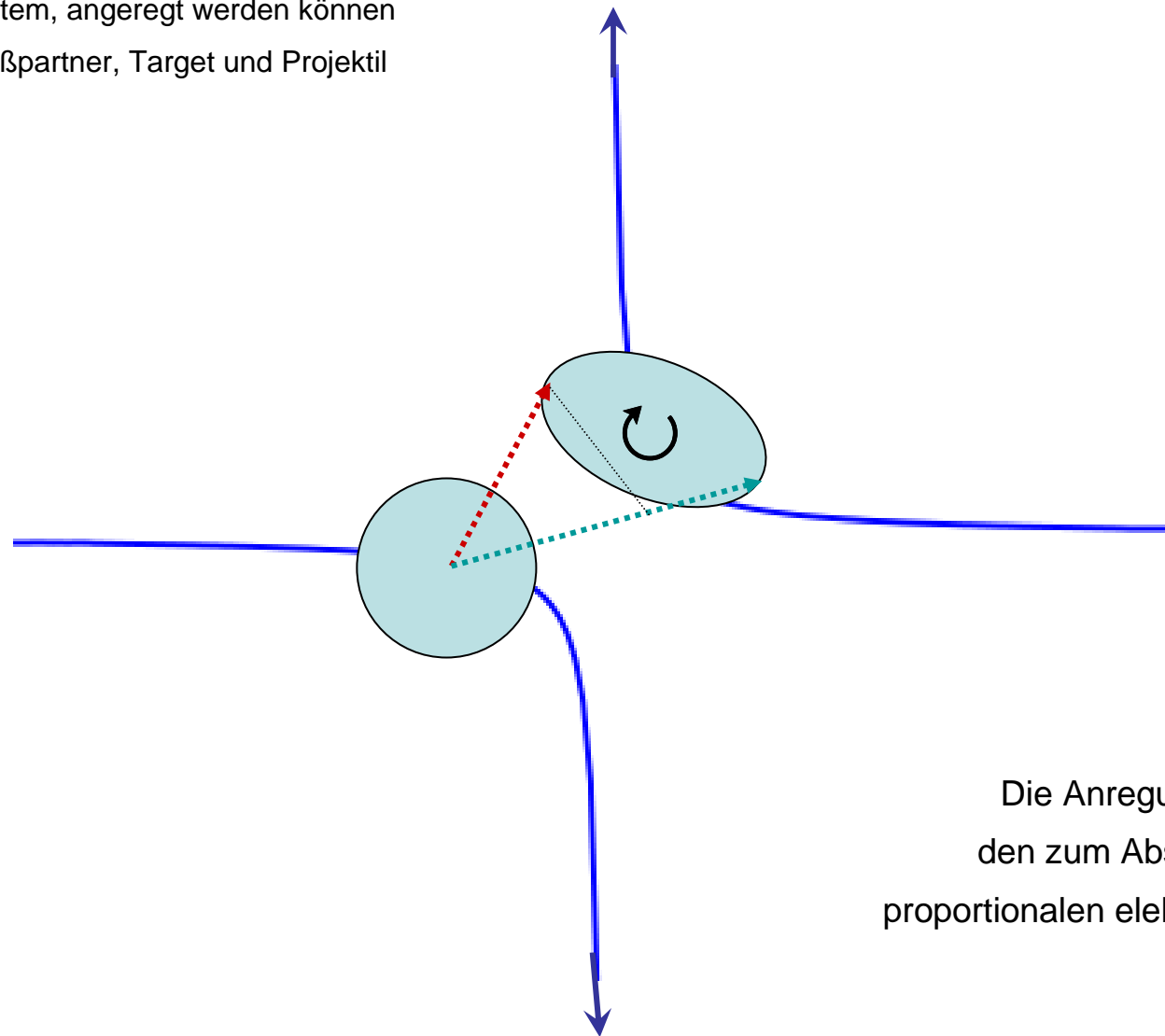
dynamische Dipol-Deformation

Entscheidende Information liefert die Wechselwirkung mit
elektromagnetischer Strahlung, die auf die (evtl. zeitabhängige)
Verteilung der Ladung (Protonen) **empfindlich ist.**



Coulombanregung klassisch

im cm-System, angeregt werden können
beide Stoßpartner, Target und Projektil

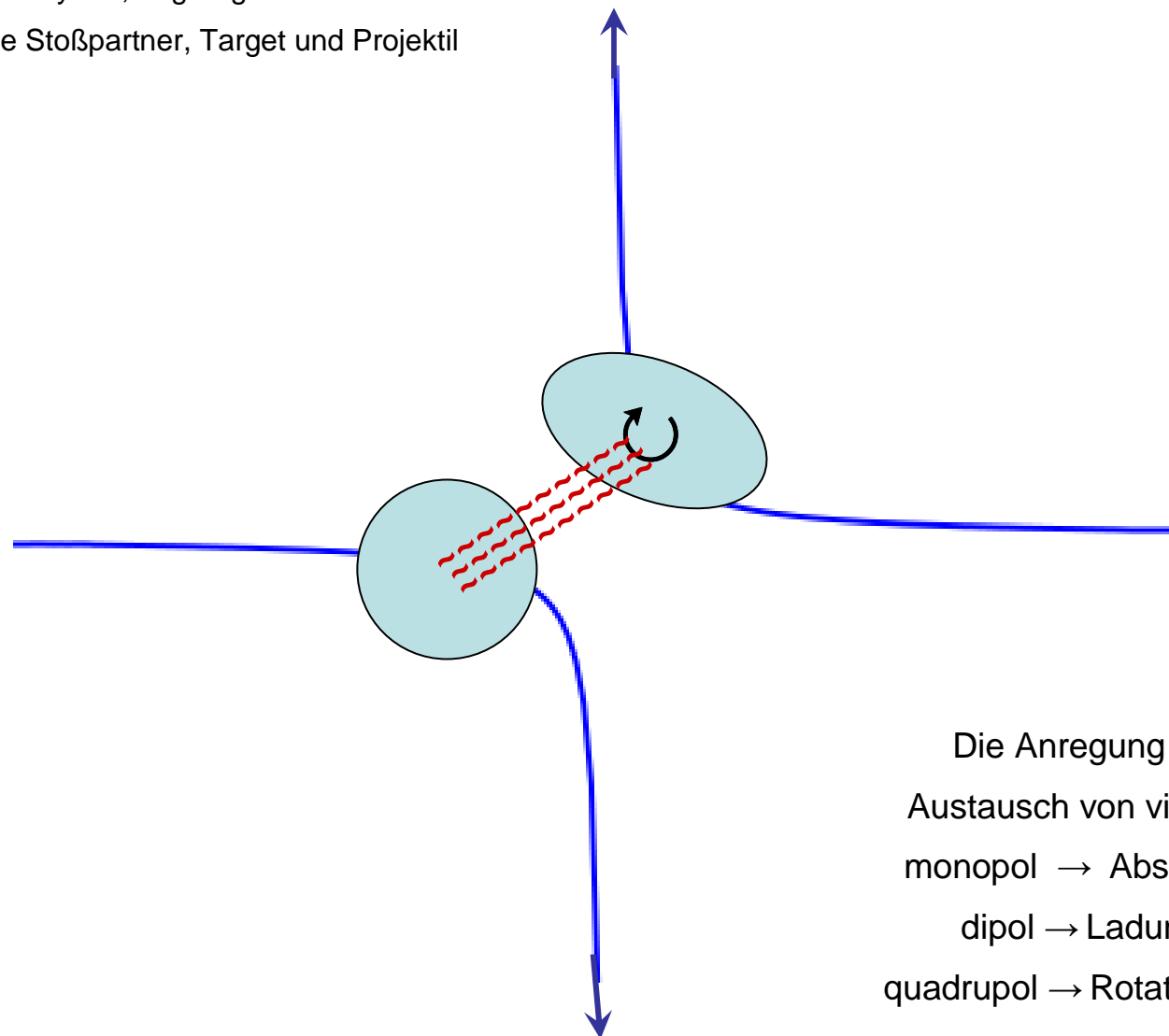


Die Anregung resultiert aus
den zum Abstand umgekehrt
proportionalen elektrischen Kräften

Coulombanregung quantenmechanisch

im cm-Sytem, angeregt werden können

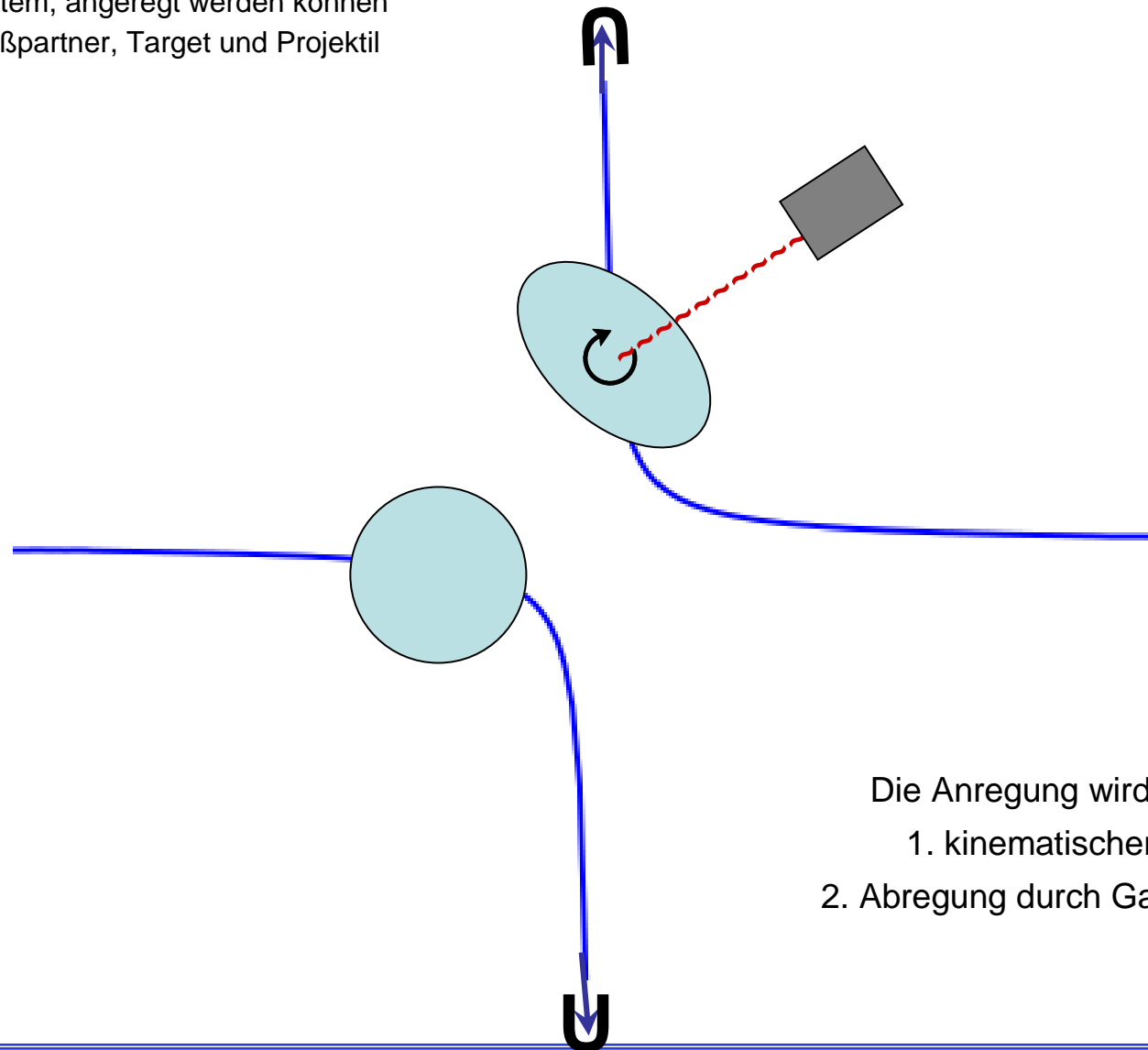
beide Stoßpartner, Target und Projektil



Die Anregung resultiert aus dem Austausch von virtuellen Photonen:
monopol → Abstoßung → Bahn,
dipol → Ladungsschwingungen,
quadrupol → Rotation & Schwingung

Coulombanregung experimentell

im cm-System, angeregt werden können
beide Stoßpartner, Target und Projektil



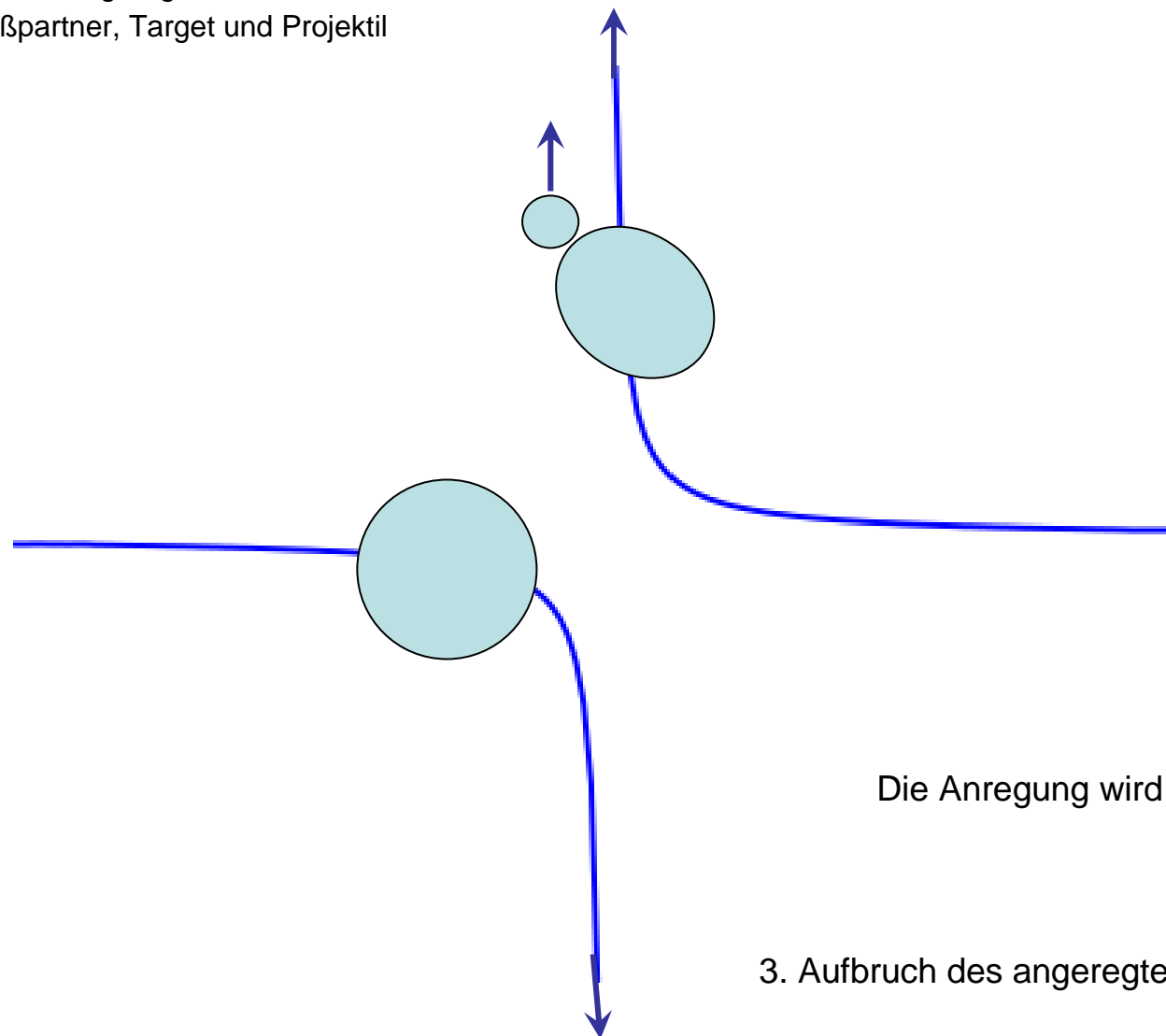
Die Anregung wird beobachtet als:

1. kinematischer Energieverlust,
2. Abregung durch Gamma-Emission,
oder

Coulombanregung experimentell

im cm-System, angeregt werden können

beide Stoßpartner, Target und Projektil



Die Anregung wird beobachtet als:

3. Aufbruch des angeregten Stoßpartners



Forschungszentrum
Dresden Rossendorf in der Leibniz-Gemeinschaft

Nukleon-Nukleon-Wechselwirkung, 9. Vorlesung am 10/06/2008



R3B: Flugzeitanlage zur Messung geladener und neutraler Produkte aus Kernreaktionen mit radioaktiven Ionenstrahlen an FAIR

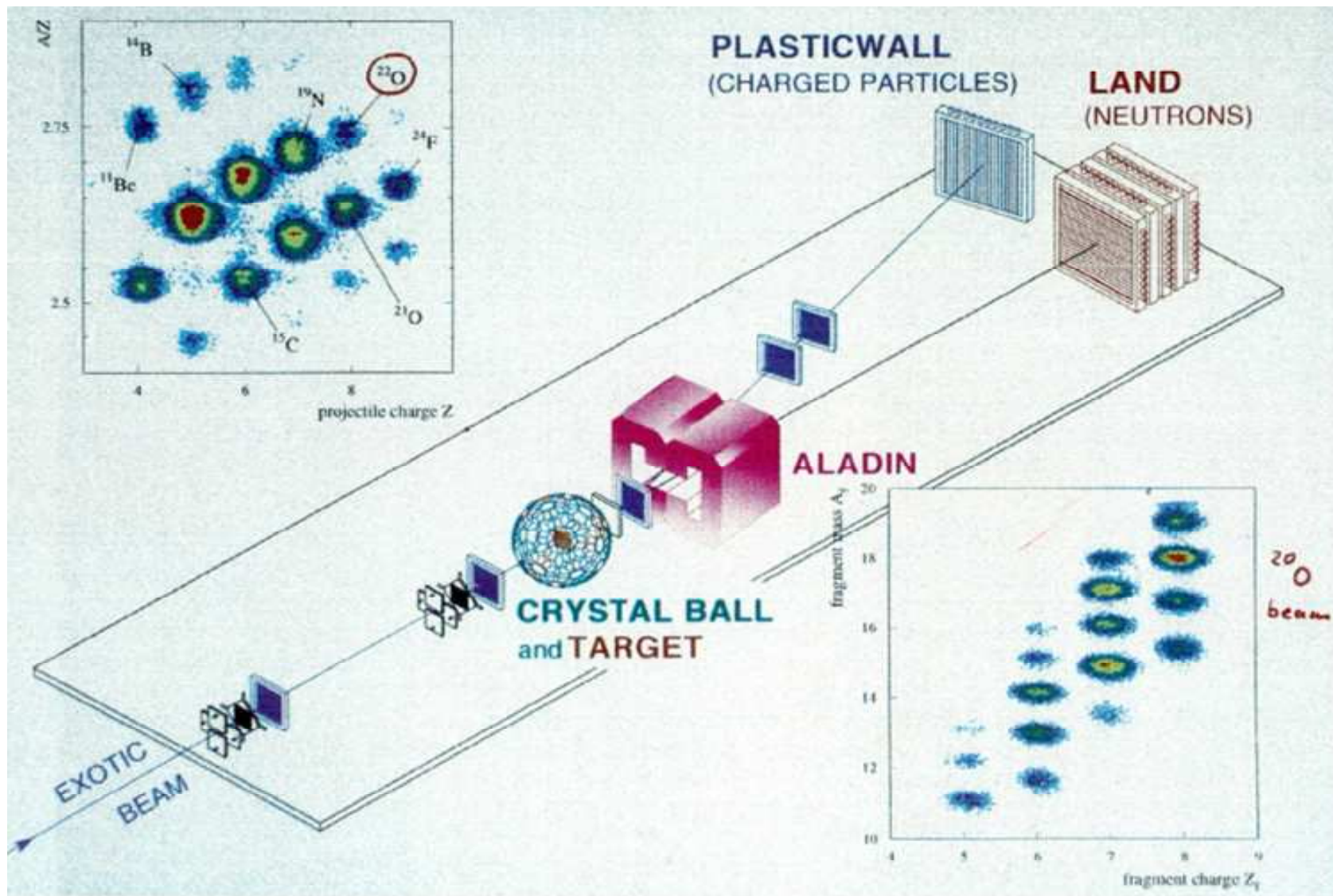
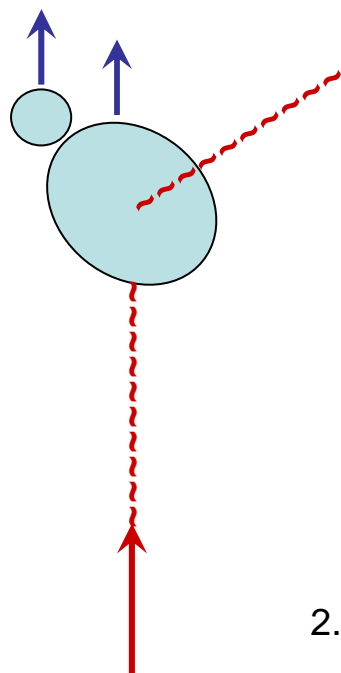


Photo-Anregung

durch reelle Photonen

z.B. aus Bremsstrahlung



Die Anregung wird beobachtet als:

1. Photonen-Energieverlust,
2. Abregung durch verzögerte Emission,
oder
3. Aufbruch des angeregten Stoßpartners,
in den meisten Fällen ein Neutron

→ **(γ ,n)-Prozess**

Decay rates T , widths Γ , reduced transition probabilities and cross sections for Coulomb excitation and photon absorption

$$\Gamma = \frac{\hbar}{\lambda} = \hbar \cdot T = \frac{8\pi(\lambda+1)}{\lambda\{(2\lambda+1)!!\}^2} \left(\frac{E}{\hbar c}\right)^{2\lambda+1} B(\Pi\lambda) ; B(\Pi\lambda, J_i \rightarrow J_j) = \frac{\langle\langle J_i \|\Pi\lambda\| J_j \rangle\rangle^2}{(2J_i+1)^{2\lambda-1}};$$

$\Pi : E \text{ or } M$

Coulomb excitation

$$\sigma_{Cx} = \frac{(2Z_1 Z_2 m c^2 \alpha \hbar c)^2}{(qc)^4} \cdot P_{ij} = \sigma_{Ruth} \cdot \frac{\alpha}{\beta^2} \cdot \frac{16\pi^2 \cdot Z_1^2}{(2\lambda+1)^3} \cdot \frac{B(E\lambda)}{a^{2\lambda} \cdot \hbar c} \cdot \sum_{\mu} |Y_{\lambda\mu}|^2 \cdot |I_{\lambda\mu}|^2$$

m: reduced mass, α : fine structure const., a : $\frac{1}{2}$ dist of closest approach

Photon absorption, $\Gamma = \Gamma_{\gamma}$ from $J_0=0$ into $J_1=1$

$$\sigma_{abs} = \sigma_0 \frac{E^2 \Gamma^2}{(E_0^2 - E^2)^2 + E^2 \Gamma^2} \quad \sigma_0 = 2 \cdot \frac{2J_1+1}{2J_0+1} \frac{\pi \cdot (\hbar c)^2}{E_R^2} \cong 73 b \quad @ 10.0 MeV$$

Absorption integral over upper level $\int \sigma_{abs}(E) dE \cong \frac{\pi}{2} \cdot \sigma_0 \cdot \Gamma \propto B(\Pi\lambda)$



Absorption (or emission) of dipole radiation by an oscillator (Jackson, p.804):

$$\sigma_{abs} = \sigma_0 \cdot \frac{E^2 \cdot \Gamma_\gamma \Gamma}{(E_o^2 - E^2 + \Gamma^2/4)^2 + E^2 \Gamma^2} \approx \sigma_0 \cdot \frac{E^2 \cdot \Gamma_\gamma \Gamma}{(E_R^2 - E^2)^2 + E^2 \Gamma^2}$$

Lorentz curve

$$\approx \sigma_0 \cdot \frac{\Gamma_\gamma \Gamma}{4(E_R - E)^2 + \Gamma^2} \cdot \frac{E}{E_R} \quad \Rightarrow \quad \sigma_o = \frac{6\pi \cdot \hbar^2 c^2}{E_R^2} = 7.3 \cdot 10^{+3} \text{ fm}^2 = 73 \text{ b}$$

unitarity limit

for $E_R = 10 \text{ MeV}$

Breit-Wigner form

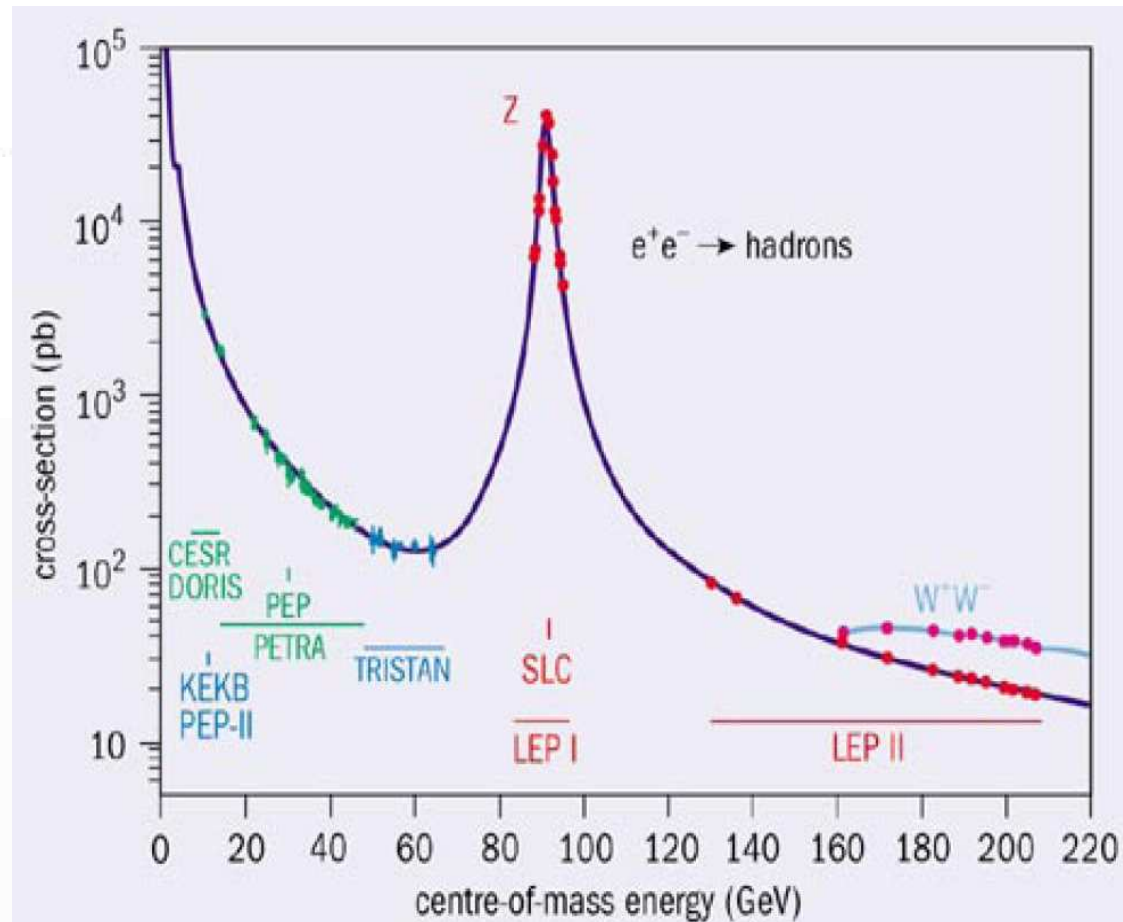
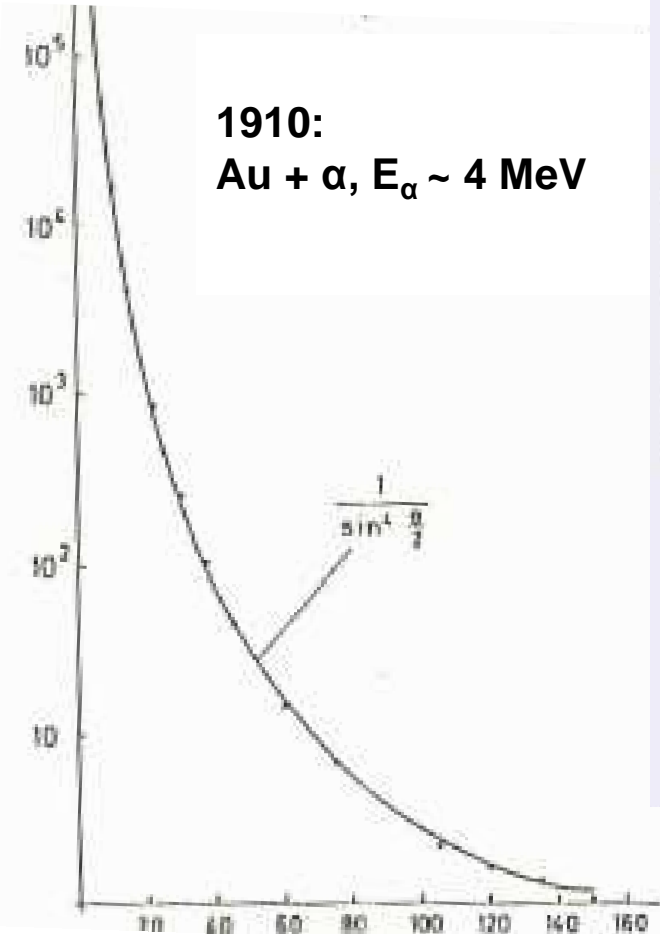
resonant process, $\tau \sim \hbar/\Gamma > 10^{-16}\text{s}$

Thompson scattering of photons from a charged point particle (Jackson, p.682):

$$\sigma_{sc} = \frac{8\pi \cdot \alpha \hbar c}{3} \cdot \frac{Z^2}{Am_N c^2} = 6.2 \cdot 10^{-3} \text{ fm}^2 = 62 \mu\text{b} \quad \text{for Mo}$$

direct process, $t \sim R/c \sim 10^{-23}s$

Der Rutherfordquerschnitt und die elektroschwache Wechselwirkung,
eine Lorentz-Kurve bei 0 und eine bei Z_0



1990: $e^+e^- \rightarrow \text{hadrons}$ von < 10 bis >100 GeV

**The Giant Dipole Resonance
in ^{197}Au and a fit with the
modified Breit-Wigner formula**

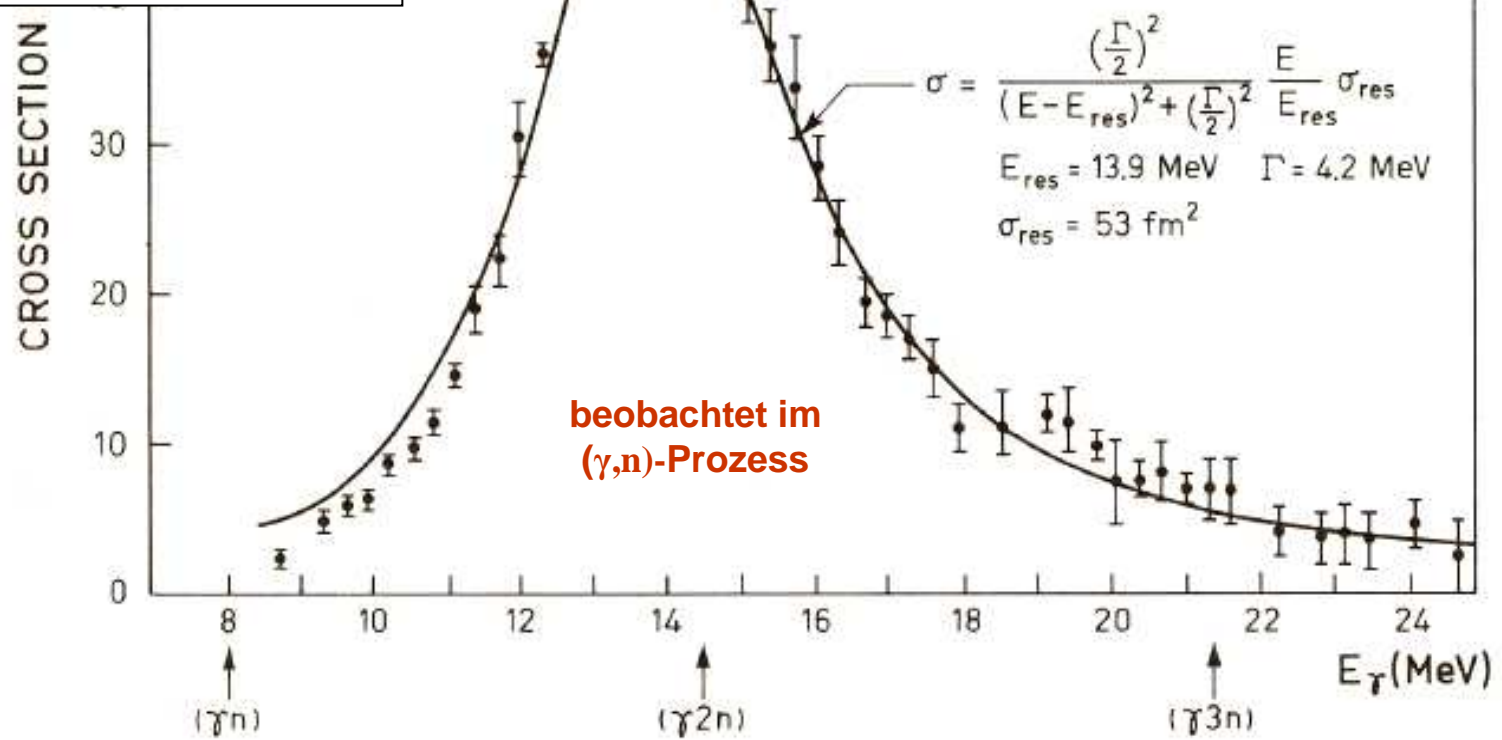
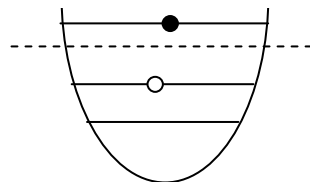


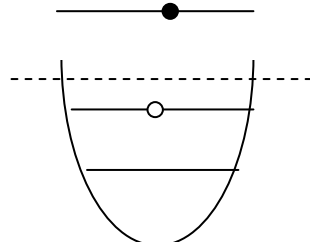
Figure 6-18 Total photoabsorption cross section for ^{197}Au . The experimental data are from S. C. Fultz, R. L. Bramblett, J. T. Caldwell, and N. A. Kerr, *Phys. Rev.* **127**, 1273 (1962). The solid curve is of Breit-Wigner shape with the indicated parameters.

Two ways to look at heavy nuclei and their giant resonances

microscopic – quantum-mechanical:
shell model of nucleons in mean field
particle - hole excitations



particle – hole excitations
across a major shell $\Rightarrow J^\pi = 1^-$



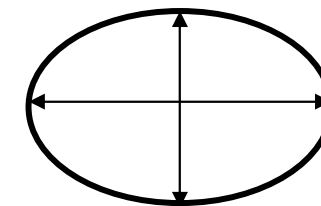
Brown & Bolsterli

nucleus
at low energy

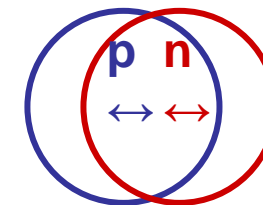
GDR:
giant dipole
resonance

theory ~ 1950

macroscopic – phenomenological:
liquid drop model \rightarrow droplet model
rotations & vibrations



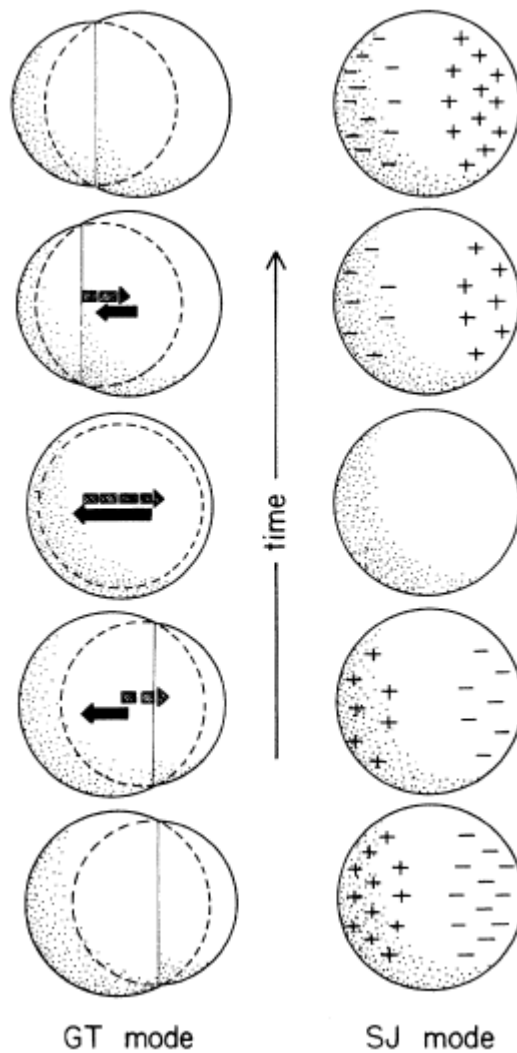
protons and neutrons oscillate
against each other



Goldhaber & Teller

Tamm-Dankoff \rightarrow RPA \rightarrow QRPA \rightarrow def'd RPA \rightarrow QPM \rightarrow Dynamic Collective Model

Collective models for the GDR

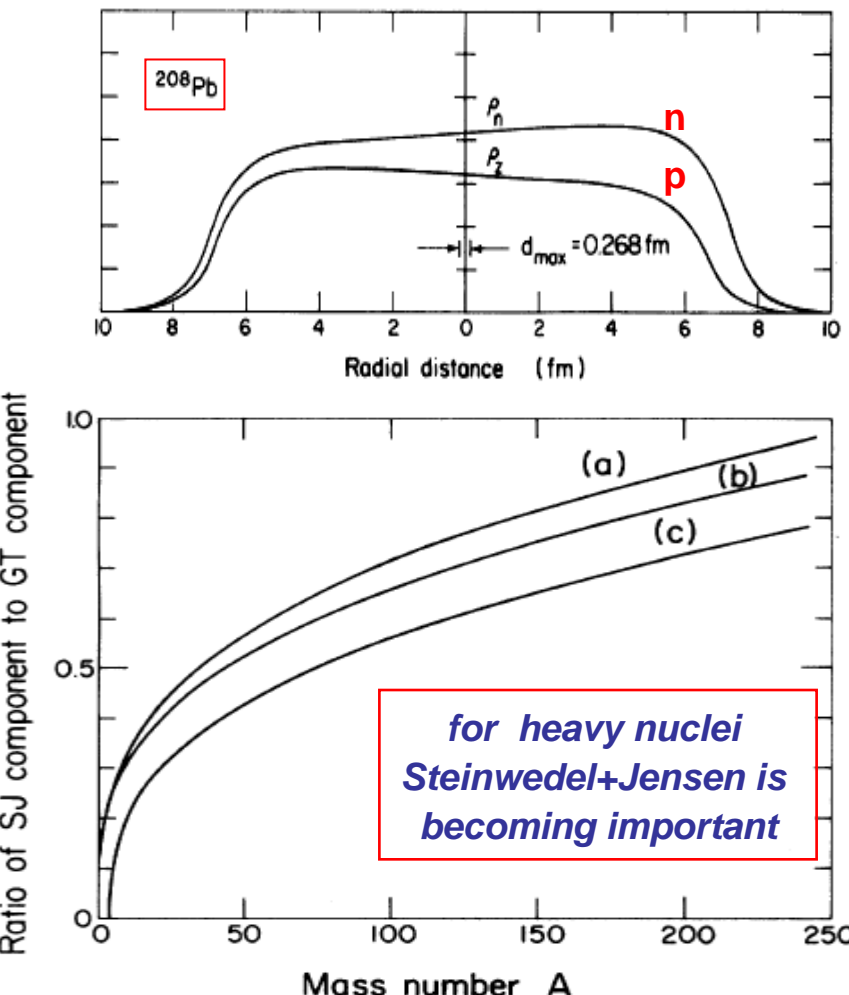


Goldhaber+Teller

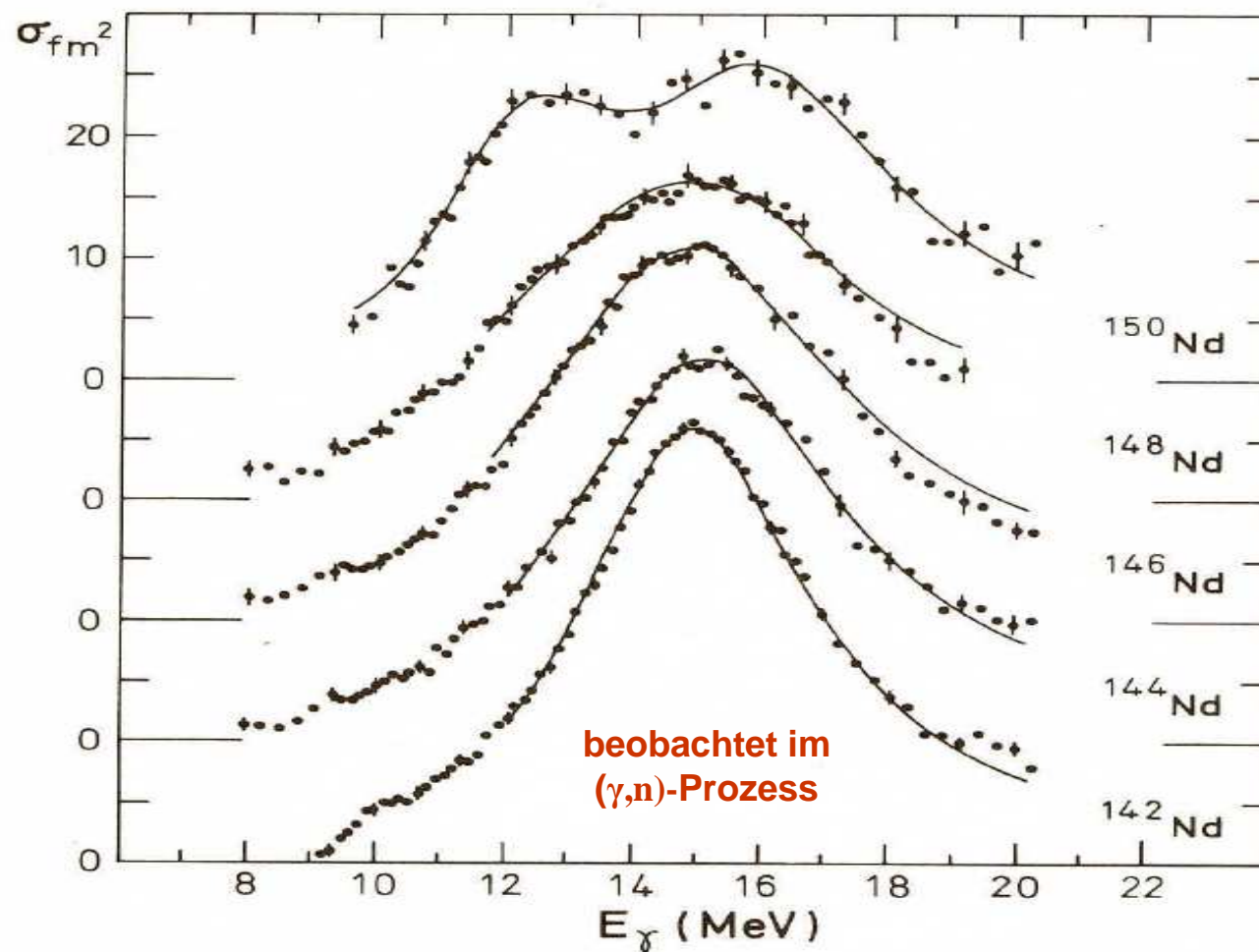
Steinwedel+Jensen

Droplet model with compressibility and symmetry-energy

W. D. Myers et al., PRC 15 (1977) 2032



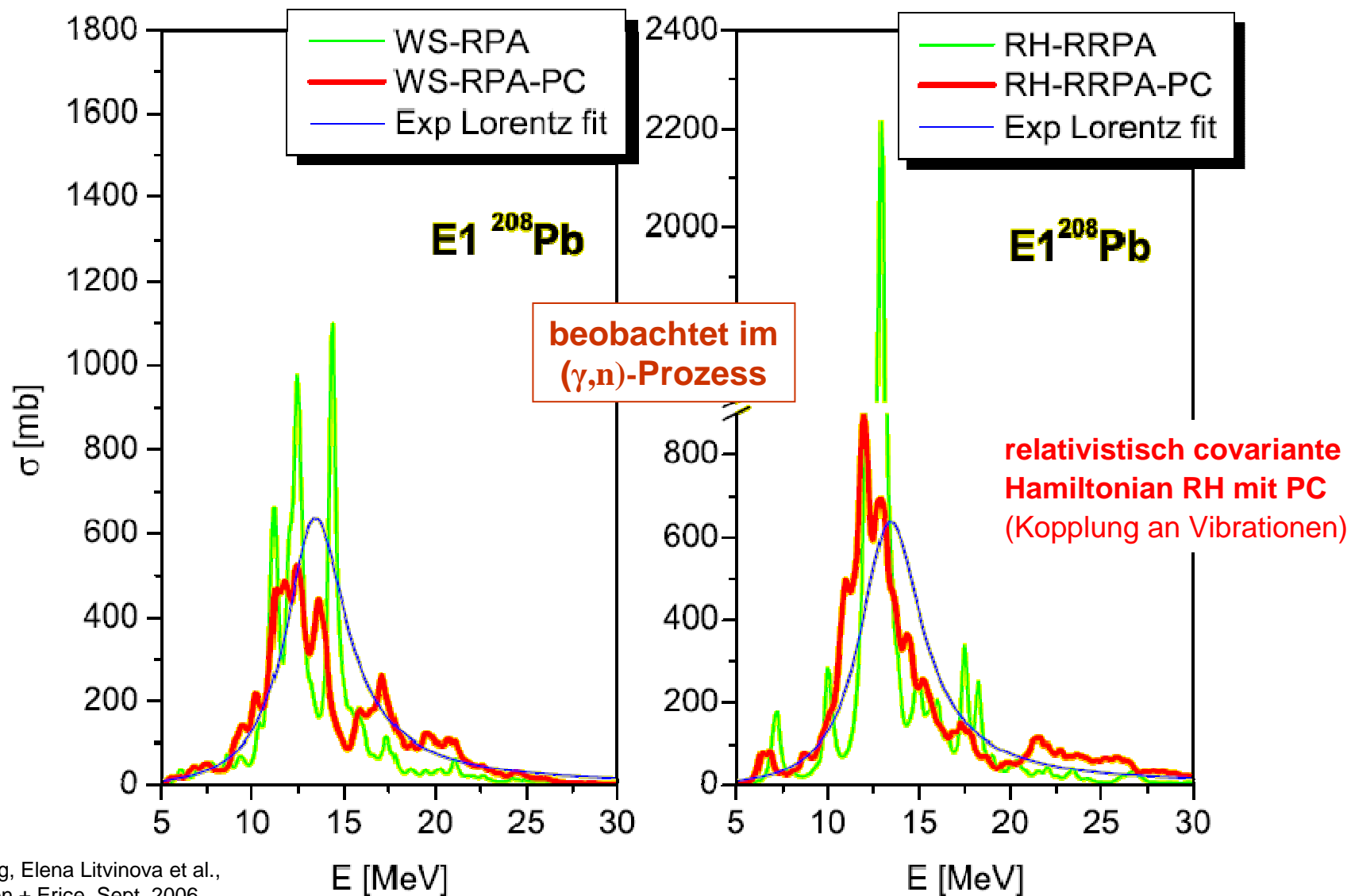
	^{142}Nd	^{144}Nd	^{146}Nd	^{148}Nd	^{150}Nd
$E_0(\text{MeV})$	14.9	15.0	14.8	14.7	12.3
$\sigma_0(\text{fm}^2)$	36	32	31	26	17
$\Gamma(\text{MeV})$	4.4	5.3	6	7.2	3.3



A. Bohr & B. Mottelson,
Structure of Nuclei
– Dipole Modes



Beschreibung der Riesenresonanz mit der Dichte-Funktional-Methode



Peter Ring, Elena Litvinova et al.,
München + Erice, Sept. 2006

To study the e.m. properties of a nucleus' excited state \mathbf{i} one can:

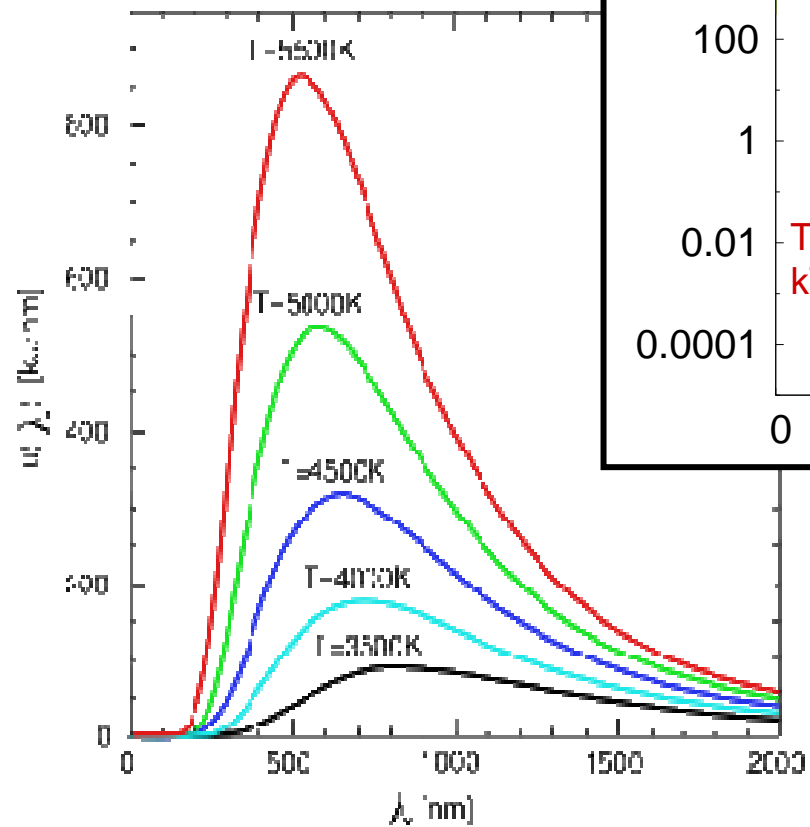
1. insert the nucleus in an e.m- field $\Rightarrow \mu_i, Q_i$
2. excite it by an electron or fast ion (virtual photon, Coulex,..)
3. use a photon beam (e.g. from ELBE.., $\Gamma_{\gamma i} > 0.1 \text{ eV}$)
4. excite it hadronically and measure e.m. decay probability:
 - a. electronically ($\tau_i > \text{ns}$, $\hbar/\tau_i \approx \mu\text{eV}$)
 - b. recoil distance Doppler shift ($\tau_i \approx \text{ps}$, $\hbar/\tau_i \approx \text{meV}$)
 - c. Doppler shift attenuation ($\tau_i > 10 \text{ fs}$, $\hbar/\tau_i < 0.1 \text{ eV}$)

Only Coulex can deliver $\gamma_{\gamma i}$ with sign, the other methods give $\Gamma_\gamma = \gamma_\gamma^2$

5. excite and measure branching ratio for comparison to Γ_i known from:
 - a. p-capture calculation (statistical model)
 - b. high resolution tof total n cross section; if $\Gamma_n \ll \Gamma_\gamma$ then $\Gamma_{\gamma i} \approx \Gamma_i \approx 0.1 \text{ eV}$
 - c. n-capture yield; if $\Gamma_\gamma \ll \Gamma_n \rightarrow \int \sigma(n,\gamma) dE \propto \Gamma_n \cdot \Gamma_\gamma / \Gamma \approx \Gamma_\gamma$,
and n-transmission $\rightarrow \int \sigma(n,n) dE \propto \Gamma_n^2 / \Gamma \approx \Gamma_n$. $\Gamma_n + \Gamma_\gamma = \Gamma$



Planck-Strahlung im Sichtbaren

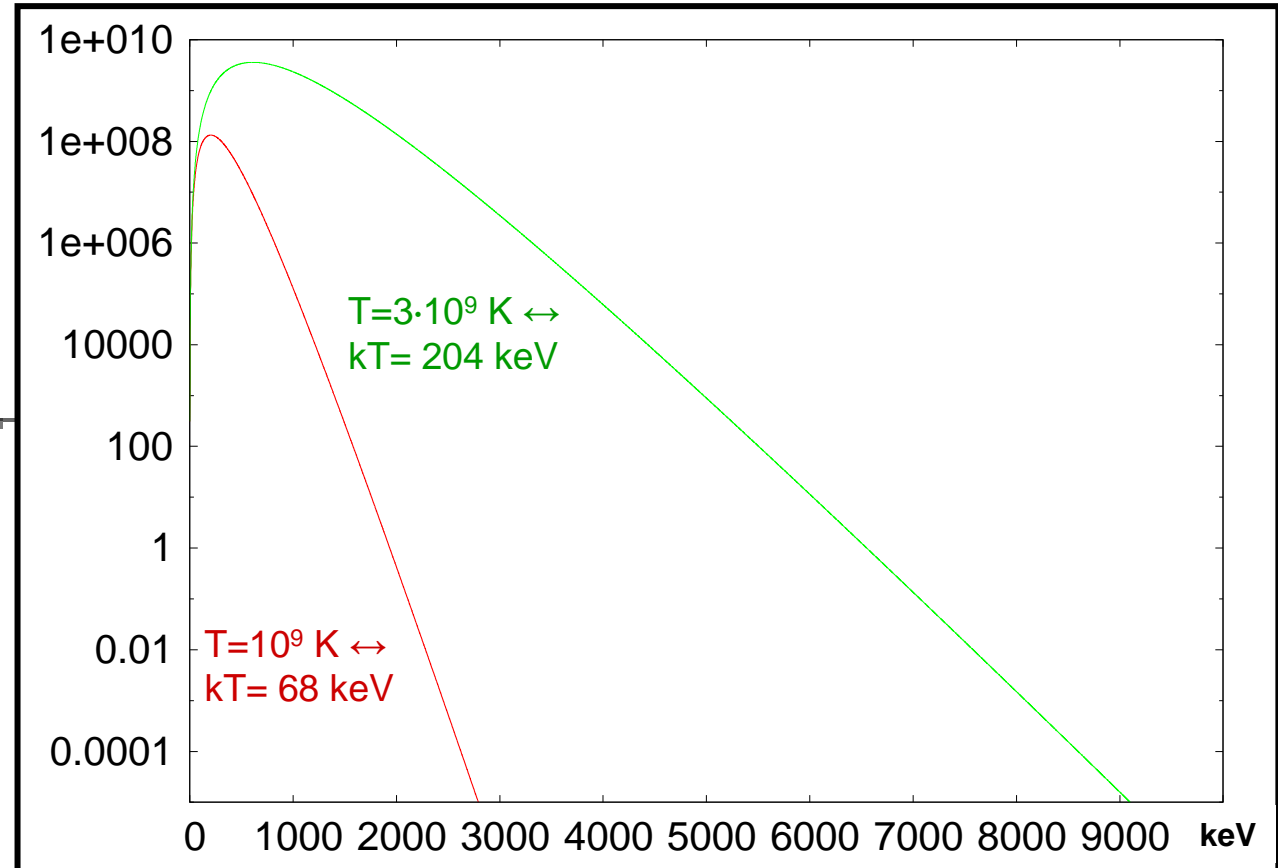


nach Wikipedia®



Forschungszentrum
Dresden

Rossendorf in der Leibniz-Gemeinschaft

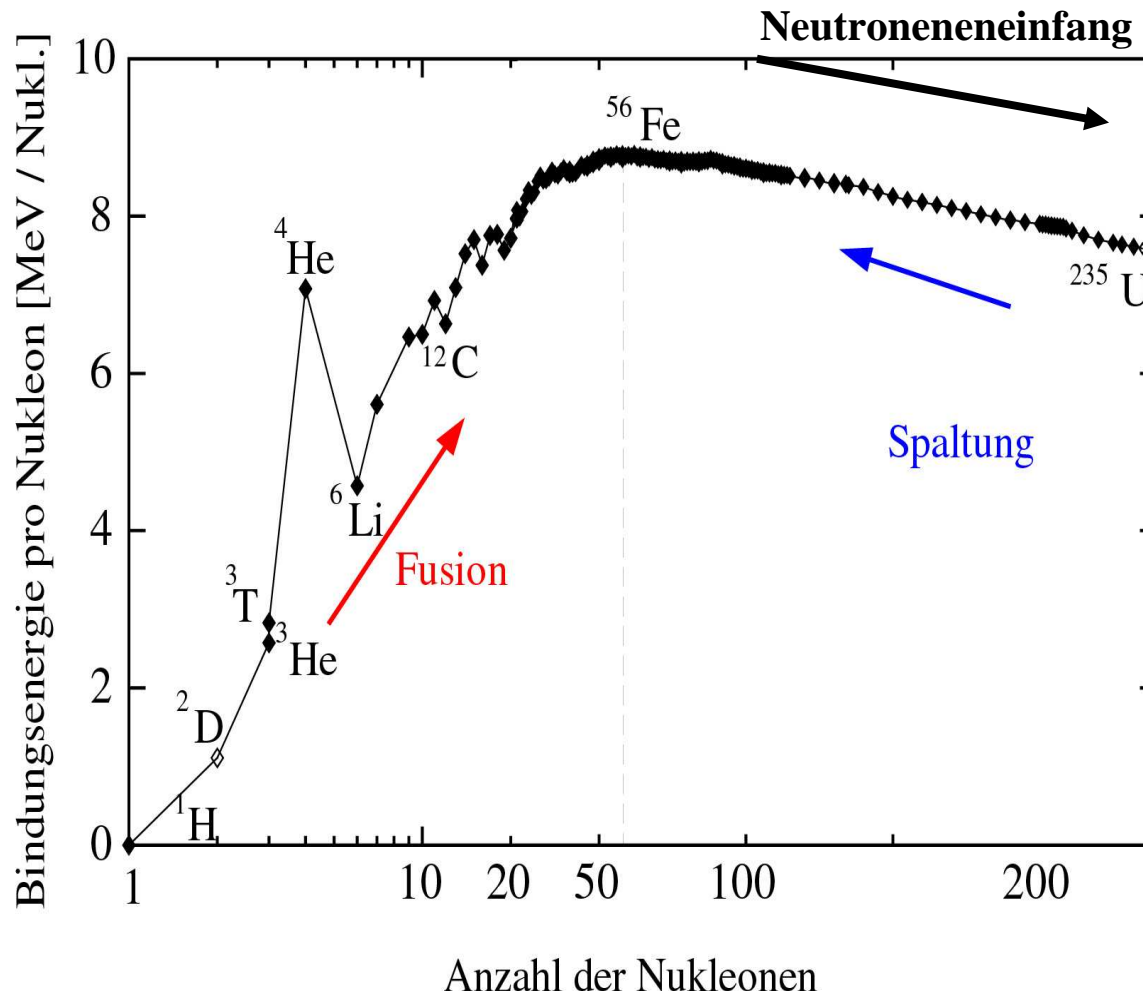


Planck-Strahlung
bei Temperaturen in
Red Giants, X-ray bursts
und Supernovae

Nukleon-Nukleon-Wechselwirkung, 9. Vorlesung am 10/06/2008

Nukleosynthese und Bindungsenergie

$$E_B = (\Delta m \cdot c^2); \quad \Delta m = Z \cdot m_p + N \cdot m_n - m_{\text{Kern}}$$



Kernfusion ohne
Energiezufuhr ist nur
möglich bis zum Eisen.

Schwerere Kerne können
wg. elektrischer Abstoßung
nur durch Neutroneneinfang-
Prozesse gebildet werden.

Sehr schwere Kerne können
spontan spalten; durch die
Kernkraft wird die Spaltung
aber behindert.



Die Häufigkeit der Elemente im Sonnensystem

